

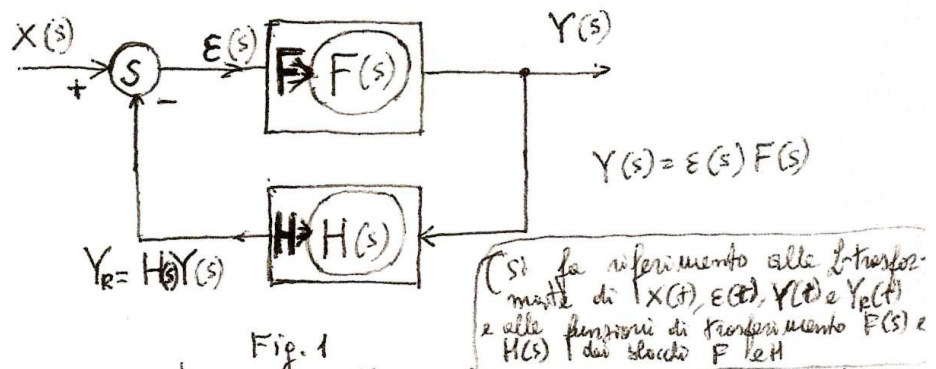
Introduzione ai sistemi di controllo automatico.

Prof. Giandomenico Belotti

Consideriamo un sistema qualsiasi, cioè un complesso di elementi connessi organicamente tra loro in modo da rispondere a determinate richieste progettuali; ad esempio una caldaia alimentata da un bruciatore a gas e richiedente il controllo continuo della pressione del vapore, in modo che la variabile di sistema, la pressione, si mantenga intorno ad un consueto valore prefissato. Il controllo della pressione in caldaia potrebbe essere attuato manualmente da un operatore che osservi continuamente un manometro ed agisca sulla composizione delle miscele aria-gas del bruciatore, in modo da mantenere sensibilmente costante la variabile di sistema. Ovviamente tale tipo di controllo sarebbe poco utile, in quanto legato all'abilità dell'operatore e soprattutto alla sua possibilità di intervento continuo. Si pensi anzitutto alle regolazioni da effettuare in una centrale elettrica per adeguare continuamente la produzione di energia alle variazioni di carico, il che comporta continue regolazioni della potenza meccanica fornita dalla turbina agli alternatori e dell'intensità di carico degli stessi: allo scopo di mantenere sensibilmente costanti la frequenza e la tensione di linea al variare del carico. Soprattutto da questo secondo esempio risulta evidente l'inadeguatezza del controllo manuale a reguire le rapide variazioni delle variabili di sistema allo scopo di ottenere le regolazioni richieste. Un sistema automatico realizza un controllo continuo del processo attraverso l'impiego della reazione negativa (contrareazione o feedback), introdotto per la prima volta da Watt nelle macchine a vapore attraverso l'impiego del classico regolatore centrifugo, costituito essenzialmente da due masse rotanti collegate in modo opposto all'albero della macchina, allo scopo di agire istantaneamente sul flusso del vapore immesso nei cilindri, per mantenere costante la velocità di rotazione, nonostante le variazioni di carico meccanico. Altro esempio di regolatore a contrareazione ci è fornito da un comune alimentatore stabilizzato in corrente o in tensione, nel quale si fa

2

in modo che un conveniente campione della corrente o della tensione di uscita venga confrontato con un valore fisso di riferimento, allo scopo di determinare una variazione di corrente o di tensione di segno contrario, tale da compensare la variazione di corrente o di tensione dovuta alla variazione delle tensioni di linea o alla variazione del carico. In figura 1 è rappresentato lo schema generale, a blocchi, di un sistema di controllo automatico,



dove $X(s)$ è il segnale d'impresa, detto anche segnale di riferimento, venendo il quale si imposta il valore desiderato della grandezza Y di uscita; $Y_R = H(s)Y(s)$ è il segnale di controazione, determinato dalla funzione di trasferimento $H(s)$ delle reti di reazione delle grandezze di uscita, $Y(s)$; $E(s)$ è il segnale di errore, detto anche segnale di attuazione, che pilota il blocco F , caratterizzato dalla funzione di trasferimento $F(s)$ ad anello aperto. Il blocco amplificatore F agisce in modo da ripristinare il valore di Y a regime, che può subire variazioni per effetto di disturbi di vario tipo determinati da cause esterne. Per esempio, nel caso di un alimentatore stabilizzato, X è la tensione di riferimento, fornita in genere da un diodo Zener, F è il cosiddetto amplificatore di errore, costituito generalmente da un amplificatore differenziale operazionale, Y è la tensione di uscita stabilizzata, H è il ponte di tensione che prende una frazione della tensione di uscita Y e la invia all'amplificatore di errore attraverso il blocco sommatore S , che fornisce al blocco F il segnale di errore $E(s) = X(s) - Y_R(s) = X(s) - H(s)Y(s)$.

Se invece si tratta di un controllo automatico da temperatura. ³

di pressione, T rappresenta la temperatura o la pressione, H il blocco trasduttore che converte in tensione la temperatura o la pressione, X è la tensione di riferimento (segna d'ingresso), che corrente di importare a stabilire il valore di temperatura desiderato se si tratta di un termostato, o il valore di pressione desiderato, se si tratta di un pressostato.

- I sistemi di controllo automatico si dividono, rispetto alle modalità di funzionamento, in due grandi categorie:
sistemi di controllo ON-OFF (^{a dimensione}) e sistemi di controllo lineari o continui.
Un tipico sistema di controllo ON-OFF è costituito dal termostato a lamina bimetallica, che agisce in modo da interrompere la corrente nelle resistenze di riscaldamento quando si raggiunge la temperatura voluta, predisponibile mediante una vite di regolazione, e ~~che determina~~ del circuito tutta le volte che la temperatura supera il di sotto del valore prestabilito. Altro esempio di regolatore discontinuo ON-OFF è il regolatore di livello di un liquido in un serbatoio. (fig. 2).

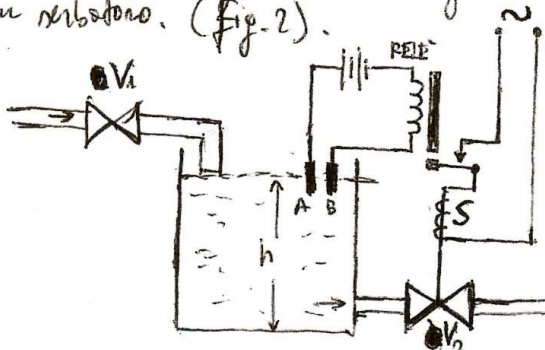


Fig. 2

Vediamo in figura che quando il livello del liquido (conduttore) raggiunge il valore h , il relè si chiude ed attiva il solenoide S collegato alla valvola di uscita V_2 . In tal modo V_2 si apre ed inizia il rincaro e conente il deflusso del liquido (permesso continuamente al serbatoio attraverso V_1), in modo da riportare il livello al valore prescritto.

Quando il livello diventa inferiore ad h , il relè si disattiva e determina la chiusura ~~permanente~~ totale della valvola V_2 , in sostanza, restando spontaneamente l'apertura e la chiusura di V_2 , si fa in modo che il livello del liquido oscilli intorno al valore h prefissato.

I sistemi di controllo lineari o continui realizzano in sostanza una regolazione continua delle grandezze di uscita; ad esempio, un tipico ~~regolatore~~ continuo è un alimentatore stabilizzato.

sistema di controllo

4

I sistemi di controllo automatico ~~sono~~ continuo o lineari si differenziano e loro volta sia per il tipo di grandezza d'uscita Y , sia per il legame funzionale $Y=f[E(t)]$ tra la grandezza d'uscita $Y(t)$ ed il segnale di errore o di situazione $E(t)$.

Ripetendo il tipo di grandezza d'uscita fornita, i sistemi di controllo automatico si distinguono in regolatori ~~se~~ la grandezza Y deve essere mantenuta costante e se quindi anche la grandezza di riferimento X è costante; un dispositivo ~~e~~ un elemento dell'apparato. Se invece Y è funzione del tempo e anche X è funzione del tempo, il sistema di controllo prende il nome di servomeccanismo o servosistema o avviamento; in tal caso si tratta di un sistema di controllo reazionato che produce un'uscita ad alta potenza che deve seguire fedelmente l'andamento del corrispondente segnale d'ingresso $X(t)$. Inoltre, in base al legame $Y(t)$ i regolatori continuo si distinguono in regolatori proportionali, se $Y(t)$ è proporzionale all'errore $E(t)$ e quindi per la variazione $\Delta Y(t) = k_p \Delta E(t)$; in regolatori ad azione derivativa, se $Y(t)$ è proporzionale alle derivate del segnale d'errore $E(t)$, se cioè $Y(t) = k_d \frac{dE(t)}{dt}$, e in regolatori ad azione integrale se $Y(t)$ è proporzionale all'integrale del segnale di errore, se cioè $Y(t) = k_i \int_{t_0}^t E(t) dt$, dove il segno - sta ad indicare la presenza della contrarreazione o reazione negativa. Nel caso generale di un regolatore P.I.D., cioè ad azione proporzionale, Derivativa-Integrata, i tre addendi di $Y(t)$ contribuiscono con diverse modalità alla regolazione di Y , che è data pertanto dalla seguente espressione:

$$Y(t) = K_p E(t) + K_d \frac{dE(t)}{dt} + K_i \int_{t_0}^t E(t) dt.$$

Le tre azioni devono essere opportunamente dosate per non condurre il sistema all'instabilità. In particolare, il regolatore ad azione derivativa risponde soltanto alla rapidità di variazione dell'errore ~~corrente~~ e quindi alle brusche variazioni di Y ; il regolatore proporzionale effettua le maggior parte delle regolazione necessarie; infine il regolatore integrale ~~perfeziona~~ le regolazioni compensando lo

Scarto residuo tra la grandezza di uscita Y e la grandezza di riferimento X .

Struttura generale di un sistema di controllo automatico

Un sistema di controllo automatico è costituito essenzialmente (Fig. 3) da un blocco ~~generatore~~ di riferimento R , che fornisce al blocco sommatore S il segnale di riferimento X che serve ad impostare il valore desiderato delle grandezze di uscita Y , da un blocco amplificatore F (costituito da uno amplificatore di segnale e da un amplificatore finale di potenza), e da un trasduttore H , che ha la funzione di fornire al blocco sommatore S il segnale di reazione $Y_R = HY$, proporzionale al valore della grandezza di uscita Y .

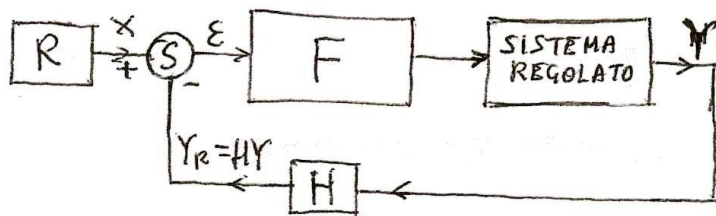
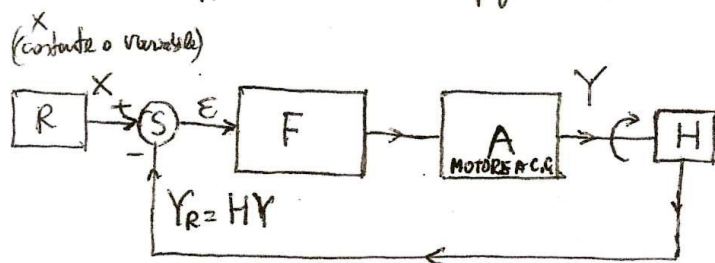


Fig.3.

Se si tratta, ad esempio, di un regolatore di temperatura per un forno industriale, il sistema regolato è il forno di cui si vuol mantenere costante la temperatura T ad un valore prefissato, il blocco F è l'amplificatore di errore ~~che fornisce i segnali di pilotaggio ad~~ un sistema di ~~alimentazione~~ a triotri o a triac per la regolazione della potenza elettrica da applicare alle resistenze di riscaldamento del forno, H è costituito in pratica da un sistema di misura della temperatura del forno basato su termocouple o su altri sensori di temperatura (termistori, resistori PTC, termometri resistivi al platino), R è un circuito de corrente di variazione di tensione di riferimento X applicata al sommatore e di impostare in tal modo il valore di temperatura desiderata. Qualsiasi variazione della grandezza di uscita Y , che è la temperatura T del forno determina un segnale di errore E , in base al quale viene inviato l'angolo di condizionamento dei

tristate o dei triac, in modo da aumentare o diminuire, a seconda del caso, la potenza elettrica immessa e quindi riportare la temperatura al valore di riposo.

Se si tratta invece di un servomeccanismo di posizione o di velocità, cioè di un servomeccanismo che consente di ottenere uno spostamento che abbia lo stesso andamento temporale del segnale di riferimento X , o di un servomeccanismo che consente di ottenere una velocità di rotazione indipendente dal corso meccanico applicato ~~alla~~, lo schema generale di controllo automatico è rappresentato in figura 4.



Servomeccanismo di posizione

Fig. 4

In questo caso il blocco R fornisce la tensione X di riferimento per l'impostazione della posizione aspolore o linea desiderata, F amplifica la tensione di errore e mediante un amplificatore finale di adeguata potenza e mediante un ~~potenziometro~~ addizionatore a ponte a tiristori (se il motore è di grande potenza) fornisce la potente continua di alimentazione a tensione variabile al blocco attuatore A che è costituito dal motore ~~inteso~~. La grandezza controllata Y (posizione) viene convertita in tensione continua da un trasduttore potenzimetrico lineare o aspolore, o da un ~~potenziometro~~ di segnale, ed inviata al blocco sommatore che fornisce al blocco F un segnale di errore E sempre più piccolo man mano che il motore si avvicina alla posizione impostata attraverso R . In fig. 5 si può osservare lo schema amplificato di un servomeccanismo di posizione impiegando un motore a corrente continua di piccola potenza, pilotato da un amplificatore operazionale di potenza (A_p). Il trasduttore di posizione è un potenziometro rotativo alimentato a tensione costante. La tensione di reazione $Y_R = H*Y$ è data da ~~da~~ $\frac{dx}{dV} V_{pp}$, dove dx è l'angolo descritto dal cursore del potenziometro α partire dalla posizione iniziale e d è l'ampiezza aspolore totale dell'avvolgimento resistivo.

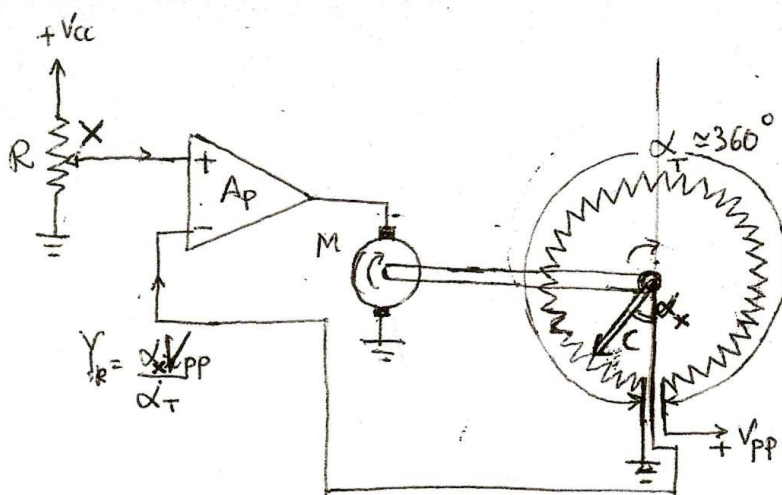


Fig. 5

Quando il motore si trova nella posizione di partenza, α (angolo ~~desirato~~
~~attuale~~
della direzione del cuscino del potenziometro con le ~~direzioni iniziali~~) è
inizialmente nullo, pertanto la tensione di reazione Y_R è nulla; il motore
inizierà a muoversi e il cuscino si sposterà in senso orario fino a
raggiungere la posizione angolare in corrispondenza delle quale Y_R diventa
uguale al segnale di riferimento X fornito dal potenziometro di controllo
 R , che serve ad impostare la posizione angolare desiderata;
per $Y_R = X$ il segnale di errore E si annulla e si annulla anche
la tensione continua di alimentazione fornita dall'ampificatore A_p
al motore M , e il motore si ferma nella posizione voluta.
Pertanto il servomeccanismo ha un meccanismo di partizione, in
quanto è in grado di reggere fedelmente un qualunque segnale
di riferimento $X(t)$, al quale risulta proporzionale lo spostamento
angolare $\alpha(t)$.

Servo meccanismo di velocità.

In questo caso basta sostituire al trasduttore potenziometrico un trasduttore
di velocità, ad esempio uno dinamometro accoppiato
meccanicamente all'asse del motore ed in grado di fornire una
tensione $Y_R = K_{AP}$, proporzionale alla velocità angolare del motore n (ang/s).
In sostanza (Fig. 6), ad ogni variazione di carico meccanico che
tende a far aumentare o diminuire la velocità del motore,

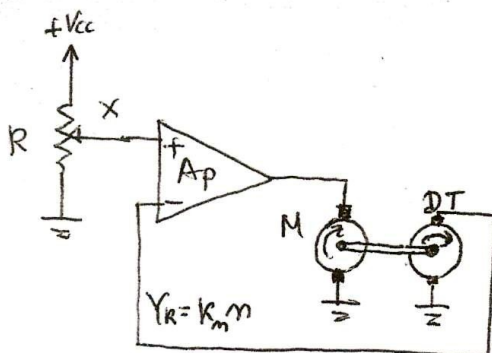


Fig. 6

la dinamo tachimetrica fornisce un segnale di reazione tale da far diminuire o aumentare la tensione d'armatura del motore e quindi da compensare, con conseguente opposta variazione di velocità, la variazione di velocità dovuta alla variazione del carico meccanico.

In questo caso si è ottenuto un controllo automatico di velocità ed anello chiuso, in quanto il segnale di controreazione fornito dalla dinamo tachimetrica DT consente di mantenere costante la velocità di rotazione (gradoletta di uscita del sistema controllato) contro tutti i disturbi esterni, rappresentati in questo caso da variazioni di carico, il che non sarebbe possibile se venisse interrotto l'anello di reazione per realizzare in tal modo un controllo, (verratore) di velocità ad anello aperto. Infatti la controreazione consente di rendere minima l'influenza di tutte le cause esterne tendenti a perturbare il sistema! Sia infatti $F(s)$ la funzione di trasferimento del blocco Amplificatore delle tensioni di errore E ; se vogliamo calcolare il valore dell'uscita a regime, corrispondente ad un segnale di riferimento X dato da un gradino di ampiezza X_0 , applichiamo il teorema del valore finale, noto dalla Teoria della trasformata di Laplace:

$$\lim_{t \rightarrow \infty} Y(t) = \lim_{s \rightarrow 0} s Y(s), \quad \text{ma } Y(s) = E(s) F(s)$$

con $E(s) = X(s) - Y_R(s)$

$$Y_R(s) = H(s) Y(s)$$

pertanto $Y(s) = [X(s) - H(s)Y(s)]F(s)$

$$Y(s) = \frac{X(s)F(s)}{1 + H(s)F(s)}$$

$F(s)$ e $H(s)$ sono rispettivamente le funzioni di trasferimento del blocco amplificatore ad anello aperto F e del blocco di reazione H , il termine $H(s)F(s)$ prende il nome di guadagno d'anello.

Si definisce inoltre definizione di trasferimento ad anello chiuso $F_n(s) = \frac{Y(s)}{X(s)} = \frac{F(s)}{1 + H(s)F(s)}$

$F(s)$ e $H(s)$ nel caso più generale si possono scrivere come funzioni razionali fratte di s con m poli e n zeri con $n < m$ affinché

$$\text{E.d.: } F(s) = \frac{k (s-z_1)(s-z_2) \cdots (s-z_m)}{(s-p_1)(s-p_2) \cdots (s-p_n)} = \begin{array}{l} \text{il lim di } F(s) \text{ tende a} \\ s \rightarrow \infty \quad \text{zero} \end{array}$$

$$= \frac{k z_1 z_2 \cdots z_m \left(\frac{s}{z_1} - 1\right) \left(\frac{s}{z_2} - 1\right) \cdots \left(\frac{s}{z_m} - 1\right)}{p_1 p_2 \cdots p_n \left(\frac{s}{p_1} - 1\right) \left(\frac{s}{p_2} - 1\right) \cdots \left(\frac{s}{p_n} - 1\right)}$$

Per tanto il $\lim_{s \rightarrow 0}$ di $F(s) = \frac{k z_1 z_2 \cdots z_m (-1)^m}{p_1 p_2 \cdots p_m (-1)^m} = k_0$, dove k_0

può prendere il nome di guadagno statico del sistema.

Definito $k_0 H_0$, procediamo al calcolo della risposta a regime del sistema all' eccitazione $X = X_0$ (^{di ampiezza X_0} (guadagno ~~statico~~)):

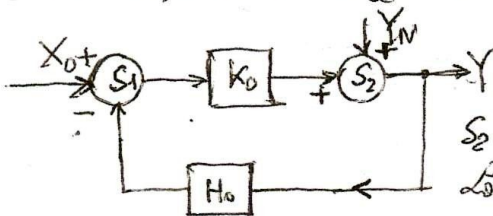
$$Y(\infty) = \lim_{t \rightarrow \infty} y(t) = \lim_{s \rightarrow 0} s Y(s) = \lim_{s \rightarrow 0} s \frac{X(s) F(s)}{1 + H(s) F(s)} = \frac{s X_0 k_0}{s (1 + H_0 k_0)} = \frac{k_0 X_0}{1 + H_0 k_0}$$

, avendo $X(s) = \frac{X_0}{s}$.

Se in particolare $k_0 H_0 \gg 1$ $y(\infty) = \frac{X_0}{H_0}$.

Il prodotto $k_0 H_0$ prende il nome di guadagno statico d'anello.

Faendo riferimento alla fig.7 calcoliamo l'effetto di un disturbo Y_N presente all' uscita, dovuto ad esempio ad una variazione di corso di determinata variazione di velocità del motore.



È stato aggiunto un sommatore S_2 per tenere conto di Y_N . Lo schema serve a calcolare l'effetto

a regime del disturbo Y_N , annullando X_0 in

Fig.7 vedi del principio di sovrapposizione degli effetti, in quanto il sistema è lineare. Supponendo infatti $X_0 = 0$:

$$Y = Y_N - K_0 H_0 Y \rightarrow Y = \frac{Y_N}{1 + K_0 H_0}$$

pertanto l'effetto a regime del disturbo Y_N è fatto più piccolo quanto maggiore è il guadagno statico d'anello $K_0 H_0$, il

che richiede un'ampificazione molto elevata per il blocco F, non sempre compatibile con la stabilità del sistema di controllo, che tenderebbe ad oscillare. Troviamo così che la controreazione consente di aumentare il rapporto segnale/disturbo ~~del~~ del sistema rispetto al corrispondente sistema ad anello aperto; infatti l'effetto dovuto al disturbo (a regime) è $\frac{1}{1+K_{FH}}$ volte più piccolo nel sistema ed anello chiuso rispetto al sistema ad anello aperto.

Classificazione dei sistemi di controllo automatico

I sistemi di controllo automatico vengono classificati in base all'errore a regime comune quando al sistema reazionato si applicano le principali eccitazioni (gradino, rampa, parabola); si determina se non c'è errore a regime con cui il sistema reazionato riproduce in uscita il segnale applicato all'ingresso.

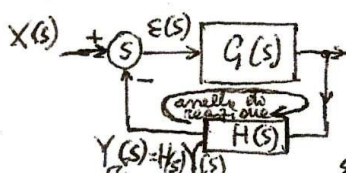
Consideriamo un sistema di controllo automatico caratterizzato da una funzione di trasferimento dell'anello ~~di reazione~~ di reazione data da

$$(*) \quad G(s)H(s) = \frac{K_0(b_m s^m + b_{m-1} s^{m-1} + \dots + 1)}{s^h(a_n s^n + a_{n-1} s^{n-1} + \dots + 1)} = \frac{K_0 B(s)}{s^h A(s)},$$

dove K_0 è il guadagno statico dell'anello di reazione per $s=0$

$$(K_0 = \lim_{s \rightarrow 0} G(s)H(s))$$

Affinché sia nullo il limite di $G(s)H(s)$ per $s \rightarrow \infty$ deve essere $m \leq n$, inoltre si considera l'esistenza di un polo s^h di multiplicità h nell'origine del piano complesso delle variabili s .



Consideriamo pertanto l'espressione dell'errore $E(s)$ a regime:

$$E(s) = X(s) - Y_r(s) = X(s) - H(s)Y(s), \quad Y(s) = E(s)G(s)$$

$$E(s) = X(s) - H(s)G(s)E(s)$$

$$E(s) = \frac{X(s)}{1 + G(s)H(s)}$$

$E(s)$ è la L-trasformata dell'errore $E(t)$

(*) $G(s)$ corrisponde a $F(s)$ molto vicina a liborio di Fig. 1; infatti $Y(s) = E(s)G(s)$.

Per calcolare il valore di $E(\infty)$ a regime appliciamo il teorema del valore finale, noto dalla teoria delle trasformate di Laplace:

$$E(\infty) = \lim_{t \rightarrow \infty} E(t) = \lim_{s \rightarrow 0} s E(s) = \lim_{s \rightarrow 0} \frac{s X(s)}{1 + G(s)H(s)}$$

Sistema di tipo zero

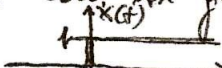
Un sistema di controllo viene classificato di tipo zero o di ordine zero se $h=0$, cioè se nella funzione di trasferimento $G(s)H(s)$ non figura la funzione di trasferimento $\frac{1}{s^h}$ (cioè dell'integratore di ordine h)

$$\int_0^\infty \int_0^{t_1} \dots \int_0^{t_h} V(t) dt_h dt_{h-1} \dots dt_1 = \int_0^\infty t^h dt = \int_0^\infty V(t) dt.$$

Pertanto il sistema è di tipo zero se $G(s)H(s) = K_0 \frac{B(s)}{A(s)}$.

Consideriamo adesso gli errori e regimi relativi alle varie eccitazioni.

Se eccitiamo il sistema con un gradino unitario, cioè con un gradino di ampiezza 1,



$$X(s) = \frac{1}{s}$$
, e si ha:

$$E(\infty) = \lim_{s \rightarrow 0} \frac{s \cdot \frac{1}{s}}{1 + K_0 \frac{B(s)}{A(s)}} = \frac{1}{1 + K_0}, \quad \text{essendo il limite di } \frac{B(s)}{A(s)} \text{ per } s \rightarrow 0.$$

L'errore a regime $E(\infty)$ è quindi tanto più piccolo quanto maggiore è il guadagno statico d'anello K_0 .

Se eccitiamo il sistema con una rampa unitaria $X(t) = t$,

$$X(s) = \frac{1}{s^2} \quad \text{e} \quad E(\infty) = \lim_{s \rightarrow 0} \frac{s \cdot \frac{1}{s^2}}{1 + K_0 \frac{B(s)}{A(s)}} = \lim_{s \rightarrow 0} \frac{\frac{1}{s}}{1 + K_0} = \lim_{s \rightarrow 0} \frac{1}{(1 + K_0)s} = \infty$$

L'errore a regime è infinito, il che significa che il sistema non risponde con sufficiente rapidità al segnale d'ingresso rampa, e che non è portato in grado di seguire l'aumento in funzione del tempo.

Analogo risultato si ottiene eccitando il sistema con una parabola unitaria $X(t) = t^2$,

$$E(\infty) = \lim_{s \rightarrow 0} \frac{s \cdot \frac{2}{s^3}}{1 + K_0 \frac{B(s)}{A(s)}} = \lim_{s \rightarrow 0} \frac{\frac{2}{s^2}}{1 + K_0} = \lim_{s \rightarrow 0} \frac{2}{s^2(1 + K_0)} = \infty$$

Sistema di tipo 1

Un sistema viene classificato di tipo 1 se $h=1$, cioè se $G(s)H(s) = \frac{K_0}{s} \frac{B(s)}{A(s)}$ il che significa che nella funzione di trasferimento dell'anello di reazione $G(s)H(s)$ è presente un integratore di ordine 1 ($\int v(t) dt$).

Se eccitiamo il sistema con un gradino unitario, la trasformata $X(s) = \frac{1}{s}$, abbiamo:

$$E(\infty) = \lim_{s \rightarrow 0} \frac{s \cdot \frac{1}{s}}{1 + \frac{K_0}{s} \frac{B(s)}{A(s)}} = \lim_{s \rightarrow 0} \frac{1}{1 + \frac{K_0}{s}} = \lim_{s \rightarrow 0} \frac{s}{K_0 + s} = 0$$

essendo uguale a 1 il limite di

Per tanto l'errore a regime è nullo e il riscontro risponde meglio al gradino unitario rispetto al sistema di tipo zero.

Se $X(t) = t$ (rampa unitaria), $X(s) = \frac{1}{s^2}$

$$\text{e } E(\infty) = \lim_{s \rightarrow 0} \frac{s \cdot \frac{1}{s^2}}{1 + \frac{K_0}{s} \frac{B(s)}{A(s)}} = \lim_{s \rightarrow 0} \frac{\frac{1}{s}}{1 + \frac{K_0}{s}} = \lim_{s \rightarrow 0} \frac{1}{K_0 + s} = \frac{1}{K_0}$$

Se $X(t) = t^2$ (parabola unitaria), $X(s) = \frac{2}{s^3}$

$$\begin{aligned} \text{e } E(\infty) &= \lim_{s \rightarrow 0} \frac{s \cdot \frac{2}{s^3}}{1 + \frac{K_0}{s} \frac{B(s)}{A(s)}} = \lim_{s \rightarrow 0} \frac{\frac{2}{s^2}}{1 + \frac{K_0}{s}} = \lim_{s \rightarrow 0} \frac{\frac{2}{s^2}}{\frac{K_0 + s}{s}} = \\ &= \lim_{s \rightarrow 0} \frac{2}{s^2} \cdot \frac{s}{K_0 + s} = \lim_{s \rightarrow 0} \frac{2}{s^2 + K_0 s} = \infty. \end{aligned}$$

Evidentemente il sistema di tipo 1 non riesce a rispondere con sufficiente rapidità all'eccitazione parabolica, e quindi l'errore a regime è infinito.

Sistema di tipo 2

Un riscontro viene classificato di tipo 2 se $h=2$, cioè se $G(s)H(s) = \frac{K_0}{s^2} \frac{B(s)}{A(s)}$ il che significa che nella funzione di trasferimento dell'anello di reazione $G(s)H(s)$ è presente un doppio integratore (di ordine 2).

Se si eccita il sistema con un gradino unitario $X(t) = 1$, con L-trasformata $X(s) = \frac{1}{s}$, si ha:

$$E(\infty) = \lim_{s \rightarrow 0} \frac{s \cdot \frac{1}{s}}{1 + \frac{K_0}{s^2} \frac{B(s)}{A(s)}} = \lim_{s \rightarrow 0} \frac{1}{1 + \frac{K_0}{s^2}} = \lim_{s \rightarrow 0} \frac{s^2}{s^2 + K_0} = 0$$

Se si eccita il sistema con una rampa unitaria $X(t) = t$, con

L-trasformata $X(s) = \frac{1}{s^2}$, si ha:

$$E(\infty) = \lim_{s \rightarrow 0} \frac{s \cdot \frac{1}{s^2}}{1 + \frac{K_0}{s^2} \frac{B(s)}{A(s)}} = \lim_{s \rightarrow 0} \frac{\frac{1}{s}}{1 + \frac{K_0}{s^2}} = \lim_{s \rightarrow 0} \frac{\frac{1}{s}}{\frac{K_0 + s^2}{s^2}} = \lim_{s \rightarrow 0} \frac{1}{s} \cdot \frac{s^2}{K_0 + s^2} = \lim_{s \rightarrow 0} \frac{s^2}{K_0 + s^2} = 0$$

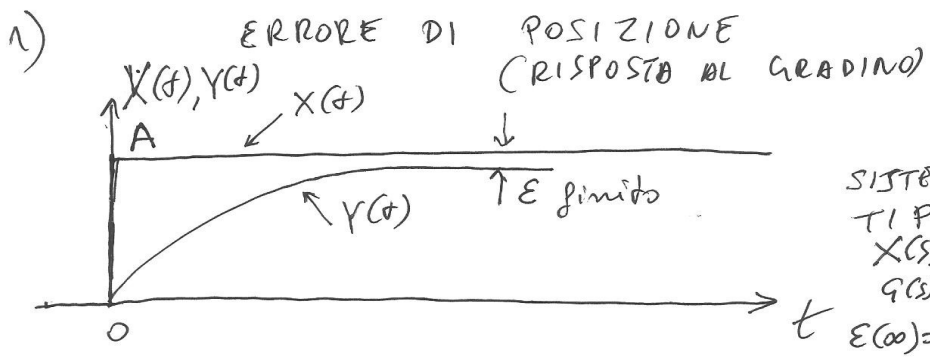
Pertanto si può notare che la presenza di un integratore doppio determina un netto miglioramento delle risposte a regime alle rampe unitarie, rispetto al sistema di tipo 1; per il quale l'errore è costante e pari a $\frac{1}{K_0}$.

Se si eccita il sistema con una parabola unitaria $X(t) = t^2$, con

L-trasformata $X(s) = \frac{2}{s^3}$, si ha:

$$E(\infty) = \lim_{s \rightarrow 0} \frac{s \cdot \frac{2}{s^3}}{1 + \frac{K_0}{s^2} \frac{B(s)}{A(s)}} = \lim_{s \rightarrow 0} \frac{\frac{2}{s^2}}{1 + \frac{K_0}{s^2}} = \lim_{s \rightarrow 0} \frac{2}{s^2} \cdot \frac{s^2}{K_0 + s^2} = \frac{2}{K_0}$$

Il sistema di tipo 2 ~~non~~ risponde meglio del sistema di tipo 1 all'excitazione parabolica, anche se con insufficiente precisione; per ottenere un errore nullo a regime bisognerebbe evidentemente impiegare un sistema di tipo 3, con ~~un~~ integratore triplo. Tuttavia in pratica non impieghiamo veramente sistemi di tipo 3, in quanto le loro stabilità è alquanto critica.

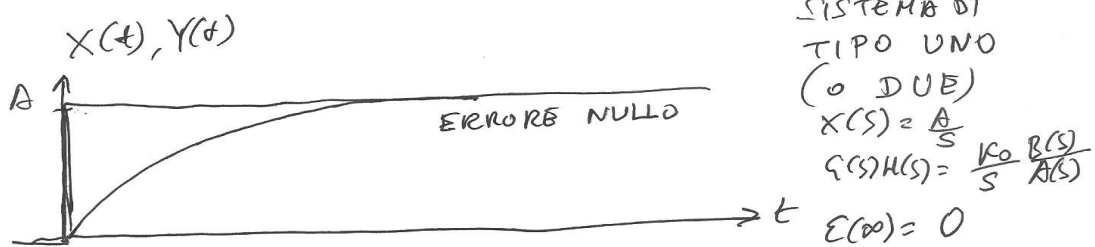


SISTEMA DI TIPO ZERO

$$X(s) = \frac{A}{s}$$

$$G(s)H(s) = K_0 \frac{B(s)}{A(s)}$$

$$E(\infty) = \frac{A}{1 + K_0}$$

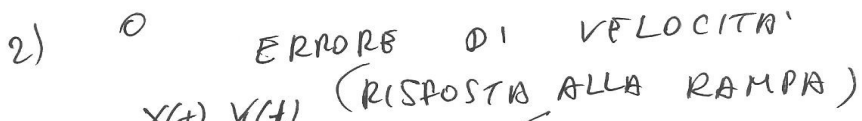


SISTEMA DI TIPO UNO

$$X(s) = \frac{A}{s}$$

$$G(s)H(s) = \frac{K_0 B(s)}{A(s)}$$

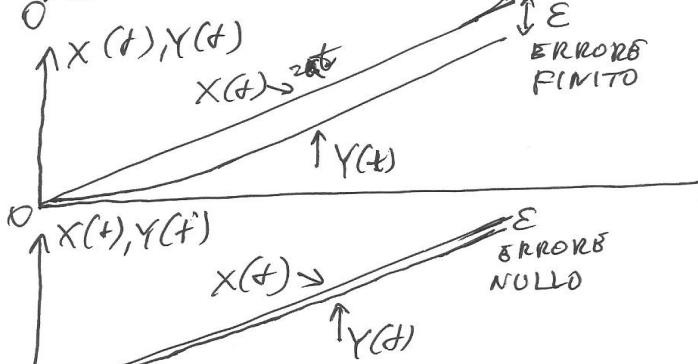
$$E(\infty) = 0$$



SISTEMA DI TIPO ZERO

$$X(s) = \frac{A}{s^2}; G(s)H(s) = K_0 \frac{B(s)}{A(s)}$$

$$E(\infty) = \infty$$

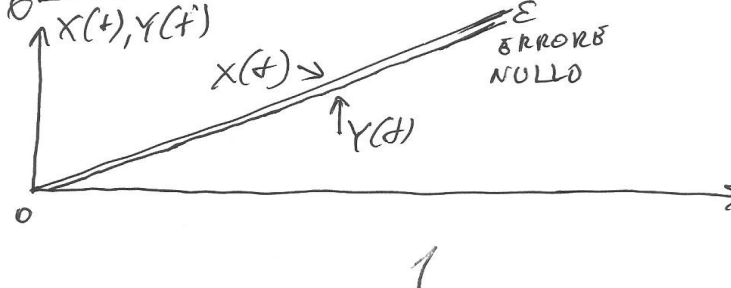


SISTEMA DI TIPO UNO

$$X(s) = \frac{A}{s^2}; G(s)H(s) = K_0 \frac{A(s)}{B(s)}$$

$$E(\infty) = \frac{A}{K_0}$$

1



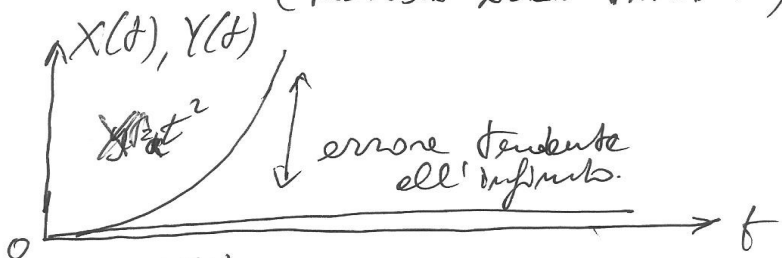
SISTEMA DI TIPO DUE

~~(TIPO DUE)~~

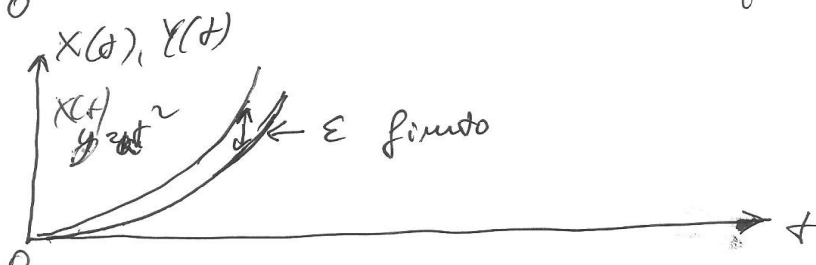
$$X(s) = \frac{A}{s^2}; G(s)H(s) = K_0 \frac{A(s)}{s^2 B(s)}$$

$$E(\infty) = 0$$

3) ERRORE DI ACCELERAZIONE
(RISPOSTA ALLA PARABOLA)



SISTEMA D1
TIPICO ZERZO
O UNO; $X(s) = \frac{2\omega}{s^3}$
 $\epsilon(\infty) = \infty$



SISTEMA D1
TIPICO DUE
 $X(s) = \frac{2\omega}{s^3} \left| \begin{array}{l} G(s)H(s) = K_0 \frac{A(s)}{s^2 B(s)} \\ \epsilon(\infty) = \frac{2\omega}{K_0} \end{array} \right.$

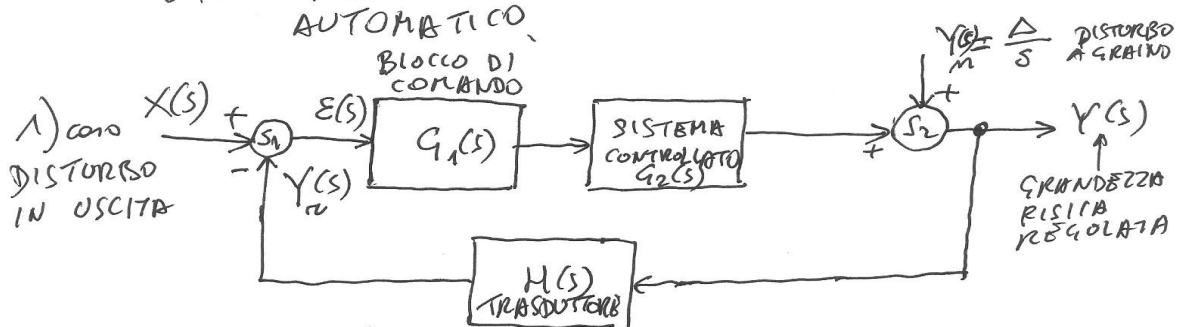


SISTEMA D1
TIPICO TRE
 $X(s) = \frac{2\omega}{s^3} \left| \begin{array}{l} G(s)H(s) = K_0 \frac{A(s)}{s^3 B(s)} \\ \epsilon(\infty) = 0 \end{array} \right.$

2

DISTURBI NEI SISTEMI DI CONTROLLO

1



Si applica il principio di sovrapposizione degli effetti.

$$Y(s) = Y_m(s) + E(s) G_1(s) G_2(s)$$

$$E(s) = X(s) - Y_m(s) = X(s) - H(s) Y(s)$$

$$Y(s) = Y_m(s) + [X(s) - H(s) Y(s)] G_1(s) G_2(s)$$

$$Y(s) + G_1(s) G_2(s) H(s) Y(s) = Y_m(s) + X(s) G_1(s) G_2(s)$$

$$Y(s) [1 + G_1(s) G_2(s) H(s)] = Y_m(s) + X(s) G_1(s) G_2(s)$$

$$Y(s) = \frac{Y_m(s)}{1 + G_1(s) G_2(s) H(s)} + \frac{X(s) G_1(s) G_2(s)}{1 + G_1(s) G_2(s) H(s)}$$

S. per $X(s)=0$ e quindi $X(s)=0$; allora $Y_m(s) = \frac{\Delta}{s}$

$$\lim_{s \rightarrow 0} Y(s) = \lim_{s \rightarrow 0} s Y(s) =$$

$$= \lim_{s \rightarrow 0} \frac{s Y_m(s)}{1 + G_1(s) G_2(s) H(s)} = \lim_{s \rightarrow 0} \frac{s \frac{\Delta}{s}}{1 + G_1(s) G_2(s) H(s)} =$$

$$= \frac{\Delta}{1 + G_1(s) G_2(s) H(s)}$$

Se il portante è $\frac{1}{G_1(s)G_2(s)H(s)}$ allora $I(s) = \frac{k}{s}$
 Il guadagno è $G_1(s)G_2(s)H(s)I(s) = \frac{kG_1(s)G_2(s)H(s)}{s}$

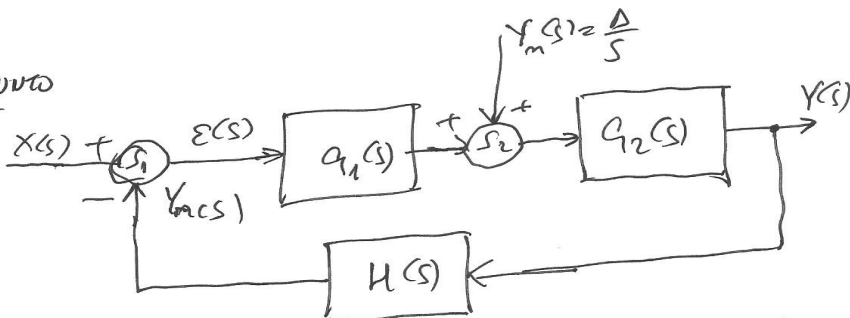
$$\lim_{s \rightarrow \infty} Y(s) = \lim_{s \rightarrow 0} s Y(s) =$$

$$= \lim_{s \rightarrow 0} \frac{s Y_m(s)}{1 + \frac{k G_1(s) G_2(s) H(s)}{s}} = \lim_{s \rightarrow 0} \frac{s \Delta}{1 + \frac{k G_1(s) G_2(s) H(s)}{s}} =$$

$$= \lim_{s \rightarrow 0} \frac{\Delta}{1 + \frac{k G_1(s) G_2(s) H(s)}{s}} = 0 \quad \text{a regime}$$

2) caso

DISTURBO IN UN PUNTO
INTERMEDIo DELL'
CIRCUITO.

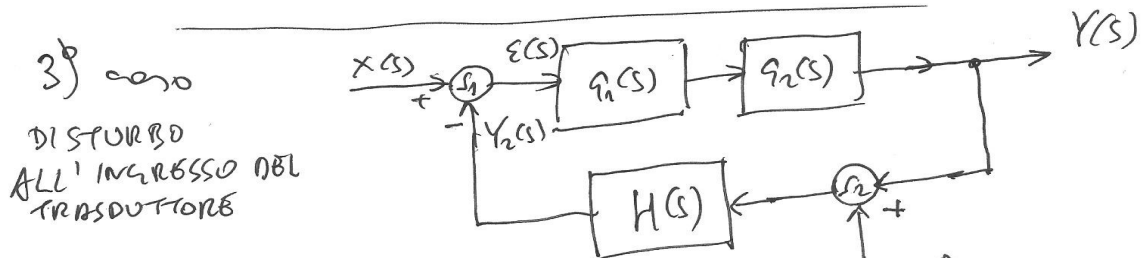


$$\lim_{f \rightarrow \infty} Y(f) = \lim_{s \rightarrow 0} s Y(s), \lim_{s \rightarrow 0} \frac{s \cdot Y_m(s) \cdot G_n(s)}{1 + G_1(s) G_n(s) H(s)} =$$

$$= \lim_{s \rightarrow 0} \frac{\frac{\Delta}{s} G_n(s)}{1 + G_1(s) G_n(s) H(s)} = \frac{\Delta G_n(s)}{1 + G_1(s) G_n(s) H(s)}$$

Se il sistema è di tipo 1 con polo nel polo $\frac{1}{\Delta G_n(s)}$ esterno a $G_n(s)$, in basso.

$$\lim_{f \rightarrow \infty} Y(f) = \lim_{s \rightarrow 0} s Y(s) = \lim_{s \rightarrow 0} \frac{s}{1 + \underbrace{G_1(s) G_n(s) H(s) \cdot K}_{s}} = 0$$



$$Y_n(s) = [(Y(s) + Y_m(s))] H(s)$$

$$Y_m(s) = \frac{\Delta}{s}$$

$$Y(s) = G_1(s) G_n(s) E = G_1(s) G_n(s) [X(s) - Y_n(s)]$$

$$Y(s) = G_1(s) G_n(s) X(s) - G_1(s) G_n(s) [Y(s) + Y_m(s)] H(s)$$

$$Y(s) + G_1(s) G_n(s) Y(s) H(s) = G_1(s) G_n(s) X(s) - G_1(s) G_n(s) H(s) Y_m(s)$$

$$Y(s) = \frac{-G_1(s) G_n(s) H(s) Y_m(s)}{1 + G_1(s) G_n(s) H(s)}$$

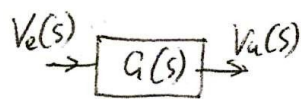
s

$$\begin{aligned}
 \lim_{t \rightarrow \infty} Y(t) &= \lim_{s \rightarrow 0} s Y(s) = \\
 &= \lim_{s \rightarrow 0} \frac{-s G_1(s) G_2(s) H(s) \cdot \frac{\Delta}{s}}{1 + G_1(s) G_2(s) H(s)} \xrightarrow{s \rightarrow 0} \frac{\Delta G_1(s) G_2(s) H(s)}{1 + G_1(s) G_2(s) H(s)} \\
 &\text{Si el sistema } \overset{\text{tiene}}{\underset{\text{punto}}{\text{tiene}}} \text{ un polo en } s = 0 \text{ entonces } \\
 \lim_{t \rightarrow \infty} Y(t) &= \lim_{s \rightarrow 0} s Y(s) = \lim_{s \rightarrow 0} -\frac{\Delta G_1(s) G_2(s) H(s)}{1 + \frac{G_1(s) G_2(s) H(s) K}{s}} \\
 &= 0
 \end{aligned}$$

6

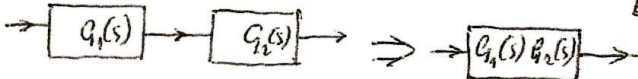
Semplificazione degli schemi a blocchi dei sistemi di controllo automatico.

16



$$C_1(s) = \frac{V_u(s)}{V_e(s)}$$

(G(s) è definita dal rapporto delle trasformate $V_u(s)$ e $V_e(s)$, funzione di trasferimento)

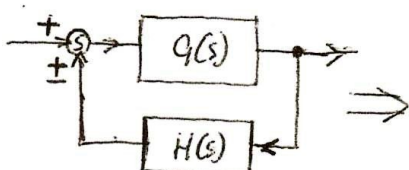
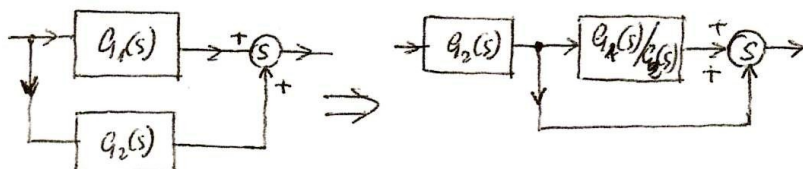


$$Y = X_1 + X_2 - X_3$$

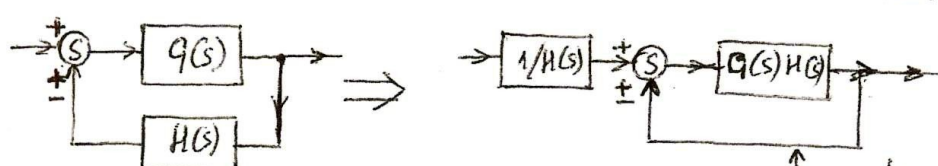
blocco sommatore E



il segnale X_3 viene invertito dal blocco sommatore ed aggiunto a $X_1 + X_2$, in quanto è presente il segno - accanto al punto d'ingresso X_3 .



il segnale + all'ingresso del sommatore corrisponde alla reazione positiva, il segnale - alla reazione negativa.

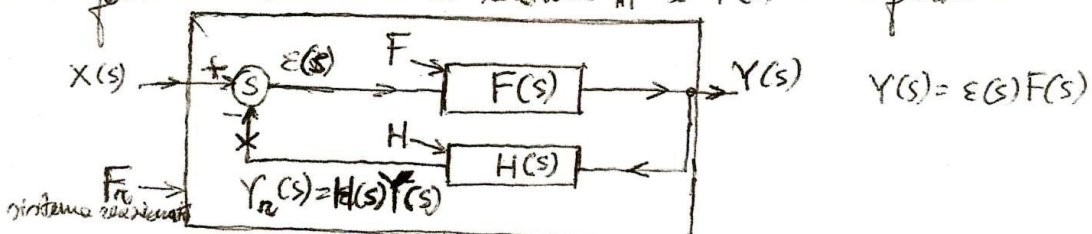


retroazione diretta
il segnale d'uscita ritorna integralmente all'ingresso

Stabilità dei sistemi di controllo automatico

15

Consideriamo un sistema di controllo automatico, ad esempio un servomotore (servomeccanismo di posizione), che sia caratterizzato da una funzione di trasferimento $F(s)H(s)$ dell'anello di reazione, stabile e priva di poli con parte reale positiva (infatti la presenza di poli con parte reale positiva determina risposte divergenti, ad esempio risposte risonanzanti da ampiezza crescente con legge esponentiale $A(t) = A_0 e^{rt}$). La funzione di trasferimento $F_a(s) = \frac{Y(s)}{X(s)}$ del sistema reazionato ad anello chiuso è data dall'espressione $F_a(s) = \frac{F(s)}{1 + F(s)H(s)}$, dove $H(s)$ è la funzione di trasferimento del blocco di reazione H e $F(s)$ è la funzione di



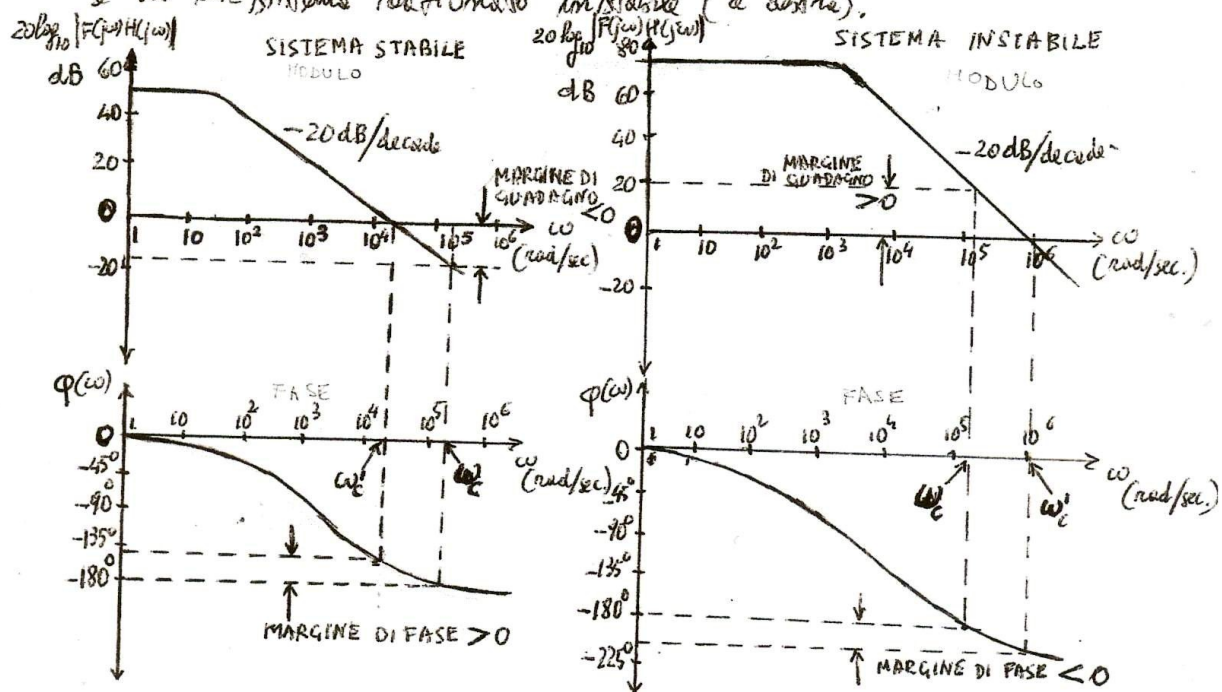
trasferimento del blocco amplificatore \xrightarrow{F} . La stabilità di $F(s)H(s)$ non implica la stabilità di $F_a(s)$, pertanto bisogna ~~aggiungere~~ ricorrere ad opportuni criteri che, dalla conoscenza della funzione $F(s)H(s)$, ci consentono di dedurre la stabilità del sistema reazionato F_a . Si tratta in sostanza di stabilire analiticamente quando il sistema reazionato oscilla e diventa pertanto instabile. Supponiamo di interrompere l'anello di reazione nel punto ^{invertito in fase} contrassegnato dalla crocetta \times . Il sistema oscilla quando il segnale di reazione $-Y_a(t)$ coincide in frequenza, ampiezza e fase con il segnale $X(t)$ d'imposto. Quando l'anello di reazione è interrotto, $E(s) = X(s)$, $Y_a(s) = H(s)Y(s) = H(s)F(s)X$ essendo $Y(s) = F(s)E(s) = F(s)X(s)$; pertanto, tenendo conto dell'inversione di fase operata dal blocco sommatore S (segno - dell'imposto del segnale di reazione), si ha la seguente condizione di oscillazione, valida in generale per qualsiasi amplificatore-antizeroazione, ed in particolare per i sistemi di controllo automatico:

$$X(s) = -Y(s), \quad X(s) = -H(s)F(s)X(s), \quad \text{cioè} \quad F(s)H(s) = -1.$$

Quando è soddisfatta questa condizione, la reazione da retevisore d'ingresso positiva e la rotazione di fase complessiva lungo l'anello di reazione è nulla o pari a multipli di 360° , e il modulo del guadagno d'anello

$|F(s)H(s)|$ è uguale a 1; in sostanza, passando al dominio della pulsazione ω , si ha:

$F(j\omega)H(j\omega) = 1$, che equivale a dire che il sistema oscilla quando la funzione di trasferimento del guadagno d'anello $F(j\omega)H(j\omega)$ è un numero complesso di modulo 1 e fase -180° (la rotazione di fase di -180° , alla frequenza di oscillazione, si somma alla rotazione di fase di 180° del sommatore, dando 0°). Esistono due criteri di stabilità: il primo fa riferimento ai diagrammi di Bode, l'altro al diagramma di Nyquist di $F(j\omega)H(j\omega)$. Osserviamo nelle seguenti figure i diagrammi di Bode di un sistema reazionato stabile (a sinistra) e di un sistema reazionato instabile (a destra).

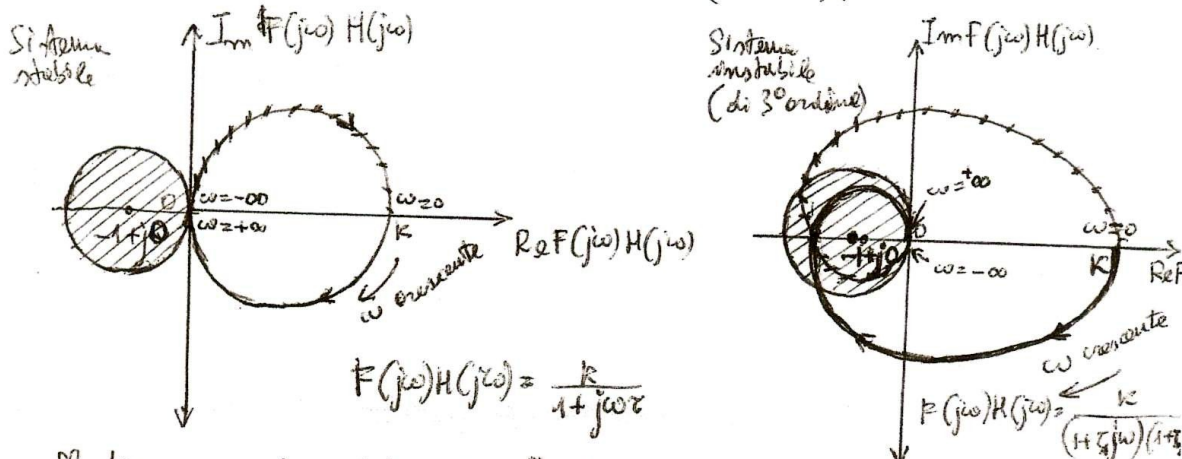


Ora, se il sistema sia instabile, il modulo di $F(j\omega)H(j\omega)$ deve essere minore di 1 per alle pulsazioni in corrispondenza delle quali $\varphi(\omega_c) = -180^\circ$; pertanto, in un sistema instabile, il margine di guadagno, definito dalla relazione $MG = 20 \log_{10} |F(j\omega_c)H(j\omega_c)|$, dove essere negativo e pari almeno a -10 dB.

(c sta per critica - instabilità critica)

Raggiato al margine di guadagno M_G si definisce il margine di fase $M\varphi$; infatti, affinché il sistema sia stabile, la fase $\varphi(\omega_c)$ deve essere minore, in valore assoluto, di 180° alla frequenza ω_c in corrispondenza della quale il modulo di $F(j\omega)H(j\omega)$ diventa uguale a 1; pertanto, in un sistema stabile il margine di fase $M\varphi = 180^\circ - |\varphi(\omega_c)|$ deve essere positivo e pari almeno a 45° .

Consideriamo adesso i diagrammi di Nyquist di un sistema stabile (a sinistra) e di un sistema instabile (a destra).



Il diagramma di sinistra è quello di un sistema di 1° ordine pensato bene, ed è stato ottenuto completando il diagramma effettivo con una semicirconferenza corrispondente a pulsazioni negative (fisicamente non significative) ($\omega < 0$), considerate allo scopo di ottenere un diagramma chiuso e puro cui contare i giri compiuti attorno al punto critico $-1+j0$, che è il centro di una circonferenza di apertura (nel piano complesso) $|1 + F(j\omega)H(j\omega)| = 1$. Infatti $(1 + R_e FH)^2 + (Im FH)^2 = 1$

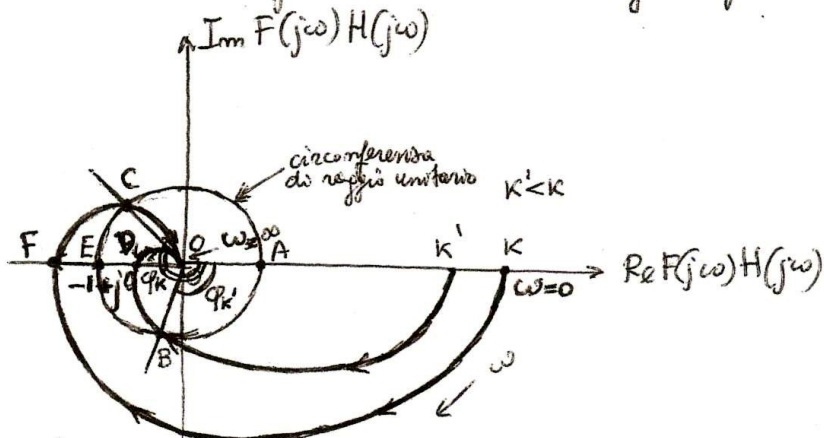
$$|1 + R_e FH + j Im FH| = 1 \Rightarrow \sqrt{(1 + R_e FH)^2 + (Im FH)^2} = 1 \rightarrow$$

è proprio l'equazione di una circonferenza di centro $(R_e FH = -1, Im FH = 0)$

Nei punti interni alla circonferenza critica la reazione è positiva, mentre in tali punti $|1 + FH| < 1$, nei punti esterni la reazione è negativa essendo $|1 + FH| > 1$. Infatti, quando $|1 + FH| < 1$ $|F_r| = \frac{|F|}{|1 + FH|} > |F|$ quando invece $|1 + FH| > 1$, $|F_r| = \frac{|F|}{|1 + FH|} < |F|$ (reazione positiva)

Se il diagramma di Nyquist attraversa alle circonference critiche senza farne ritorno al punto critico c'è reazione positiva nei punti delle regioni trasteggiate, ma il sistema è stabile e non oscilla.

Nella seguente figura sotto retti disegnati i diagrammi di Nyquist di una funzione $F(j\omega)H(j\omega) = \frac{\kappa}{(1+\tau_1 j\omega)(1+\tau_2 j\omega)(1+\tau_3 j\omega)}$ relativa ad un sistema di 3° ordine. La stabilità condizionata, dipendente dal valore del guadagno statico $\kappa(j\omega=0)$.



Il sistema con guadagno K' è stabile; infatti il margine di fase $M_\varphi = 180^\circ - |\varphi_{K'}| = 180^\circ - |\hat{A}\hat{O}B|$ è positivo, e il margine di guadagno

$$MG = 20 \log_{10} \frac{|OD|}{|OE|} = 20 \log_{10} |OD| \text{ è positivo, essendo } |OD| < 1.$$

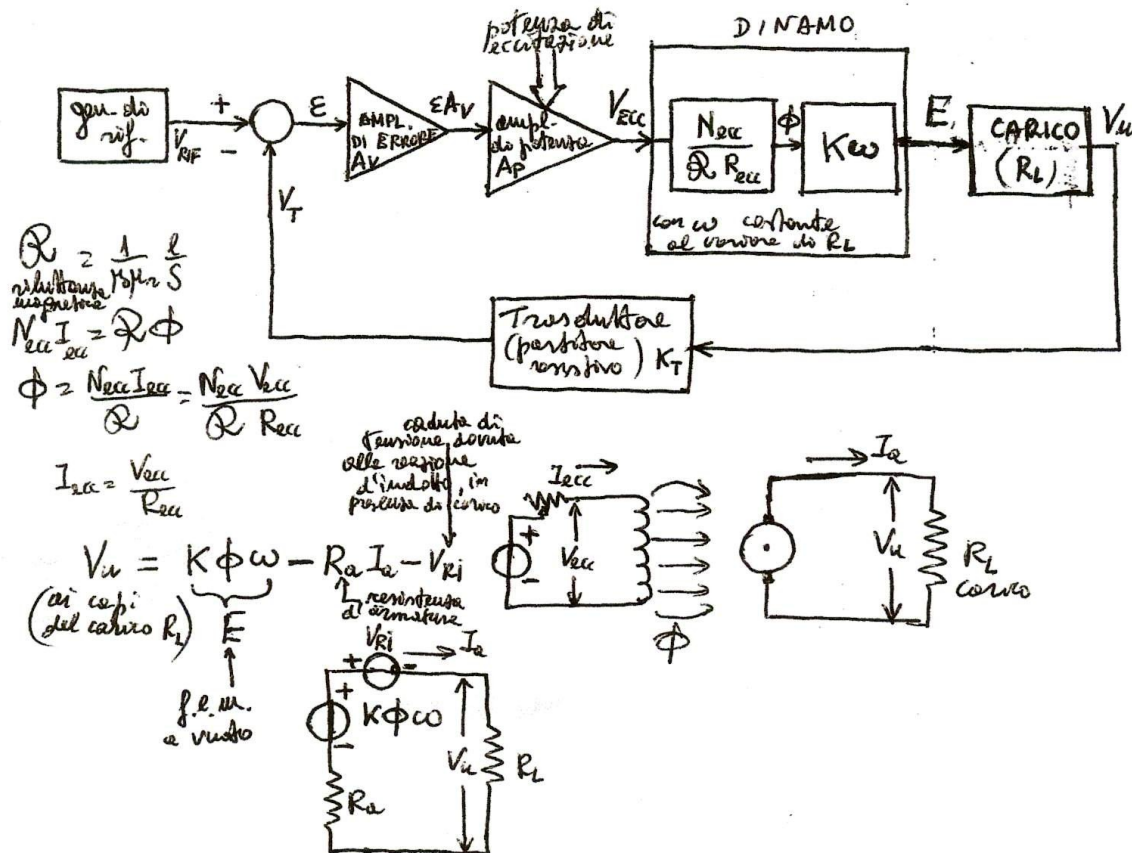
$$\boxed{|OE|=1}$$

Il sistema con guadagno K è invece instabile; infatti il margine di fase $M_\varphi = 180^\circ - |\varphi_K| = 180^\circ - |\hat{A}\hat{O}C|$ è negativo, essendo $|\hat{A}\hat{O}C| > 180^\circ$, e il margine di guadagno $MG = 20 \log_{10} \frac{|OF|}{|OE|} = 20 \log_{10} |OF| \text{ è positivo, essendo } |OF| > 1$.

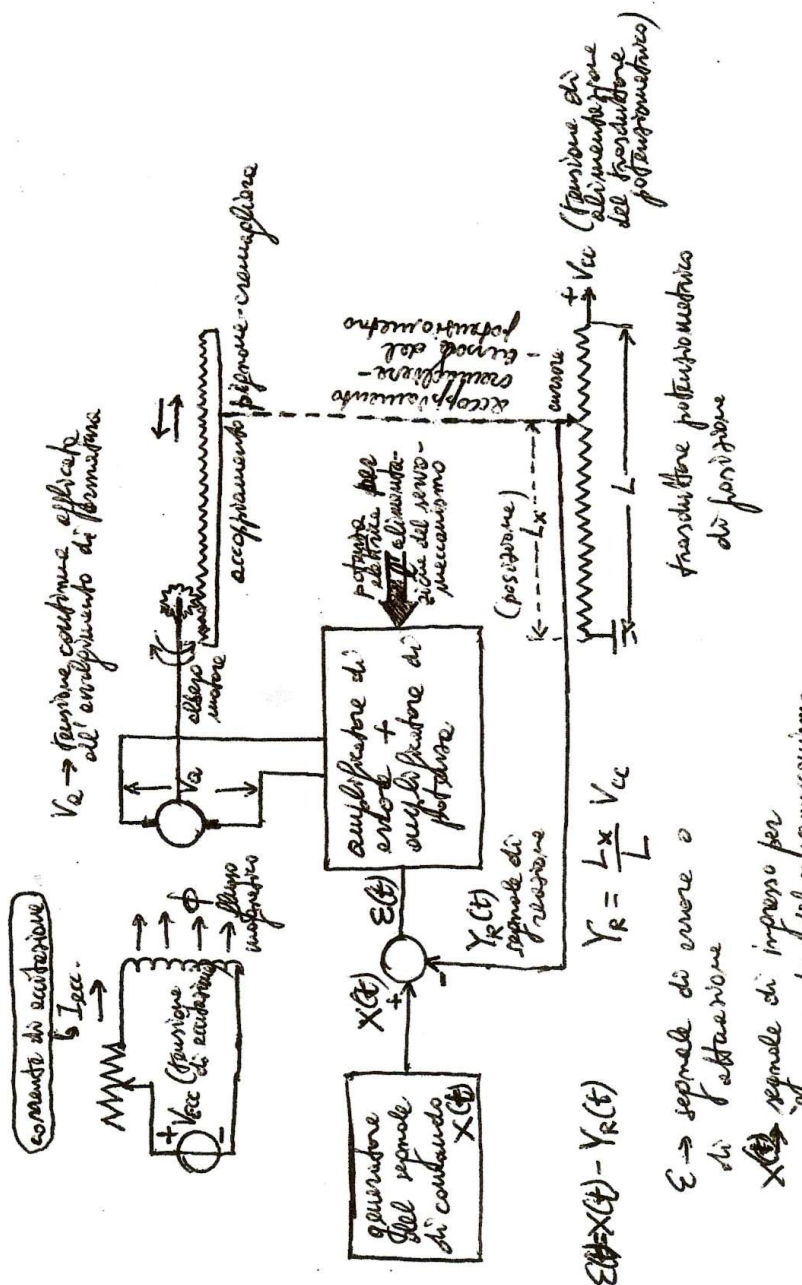
Per il sistema con guadagno $K' < K$, l'arco di diagramma compreso tra l'origine del piano complesso e il punto B corrisponde a pulsazioni ω caratterizzate da presenza di reazione positiva; il sistema è tuttavia stabile in quanto il diagramma non attraversa il punto critico $-1+j0$.

La stabilizzazione di un sistema antinematico si effettua aggiungendo al sistema reti RC anticipatrici di fase, che riducono il valore assoluto della fase in modo che $|\varphi(\omega)|$ sia minore di 180° alla frequenza per cui $|F(j\omega)H(j\omega)| = 1$. Alternativamente, si può utilizzare reti ritardatrici, che riducono il valore del modulo di $F(j\omega)H(j\omega)$ in modo che sia diverso minore di 1 alla frequenza per cui $\varphi(\omega) = 180^\circ$.

Regolazione della tensione di una dinamo al variare del carico R_L



Servomeccanismo di posizione con motore a corrente continua ed accettazione indipendente

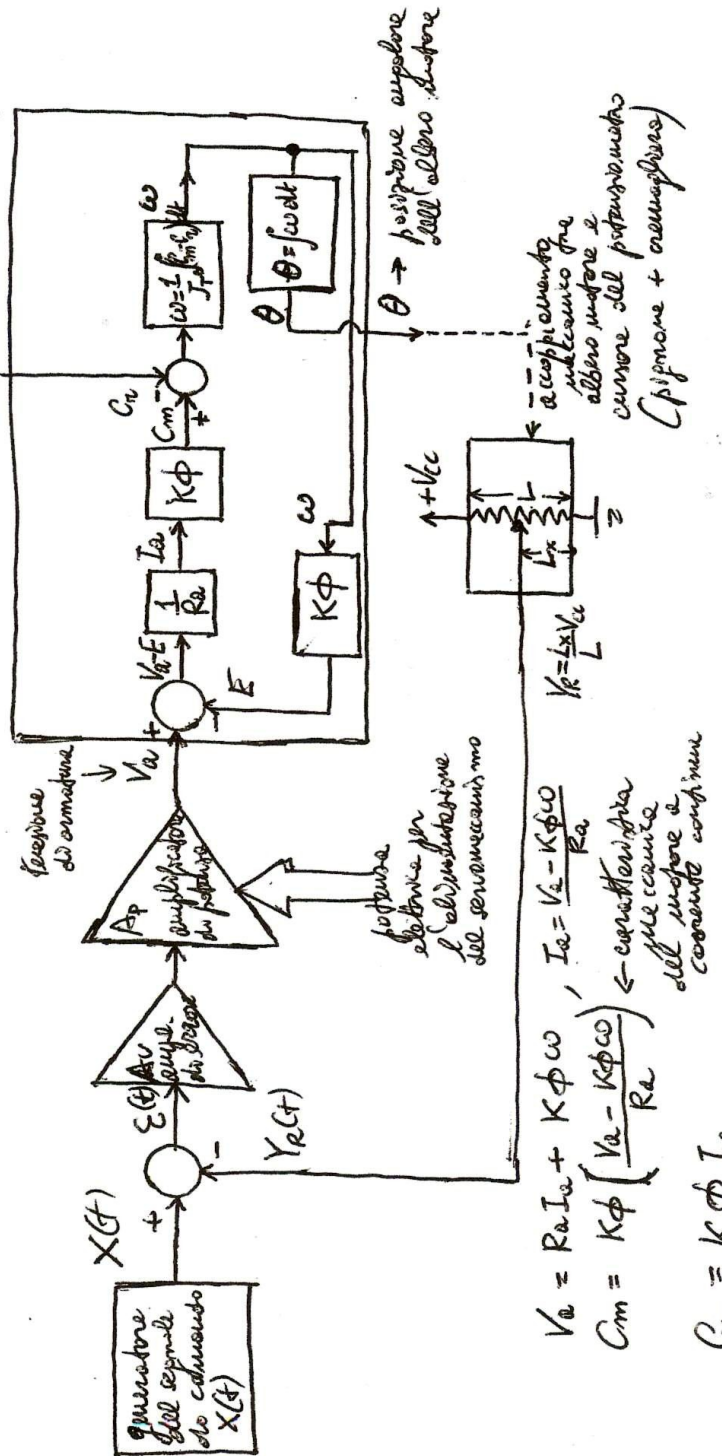


$E \rightarrow$ segnale di errore o
di attaccio

$X(t) \rightarrow$ segnale di ingresso per
il comando del servomeccanismo

Schemi a blocchi di un servomeccanismo di posizione (azionamento di posizione) 3
 impiegante un motore e corrente continua con eccitazione indipendente

SCHEMA A BLOCCHI DELL MOTORE AC.

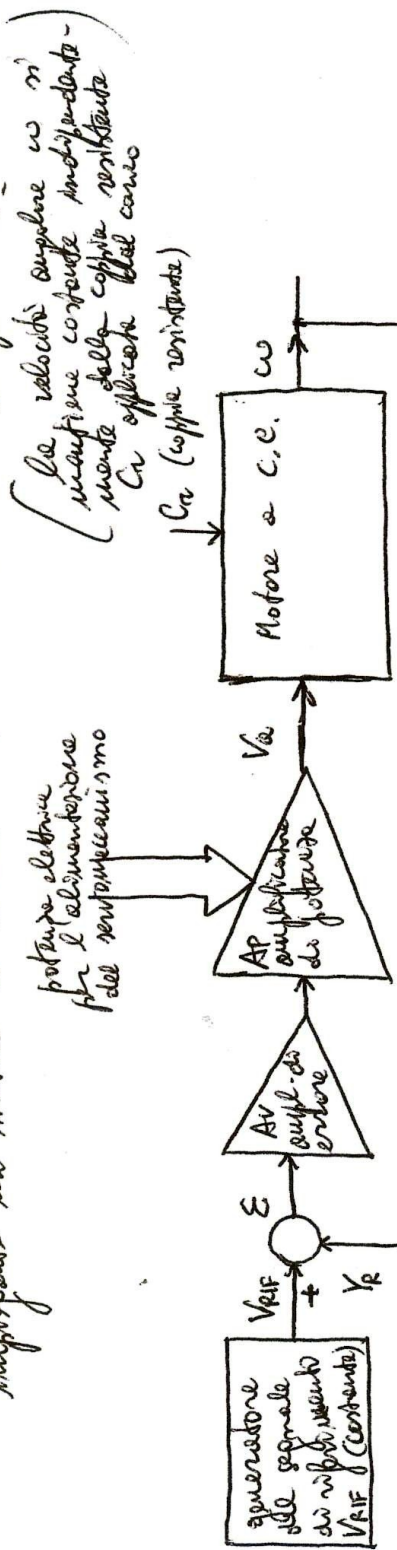


$$\begin{aligned} V_a &= R_a I_a + K\phi \omega, \quad I_a = \frac{V_a - K\phi \omega}{R_a}, \quad V_a = \frac{L}{C_m} \dot{\theta} \\ C_m &= K\phi \left(\frac{V_a - K\phi \omega}{R_a} \right) \leftarrow \text{correttiva} \\ C_m &= K\phi I_a \\ E &= K\phi \omega \end{aligned}$$

equazione differenziabile dell'angolo

$$\begin{aligned} C_m - C_n &= J_T \ddot{\theta} = J_T \frac{d\omega}{dt}, \quad \omega = \frac{1}{J_T} \int (C_m - C_n) dt \\ C_n &\rightarrow \text{corrente costante applicata al servomotore} \\ \theta &= \frac{d\theta}{dt} (\theta_{\text{posiz}}) \quad \text{angolo} \\ J_T &= J_M + J_C \quad \text{(momento d'inerzia del servomotore e del carico)} \end{aligned}$$

Schemi a blocchi di un controllo di velocità (seguimento di velocità) 4
adattamento di velocità
impiegante un motore a corrente continua con elettina indipendente -

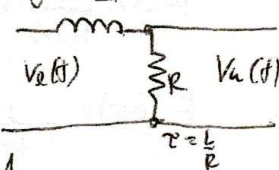
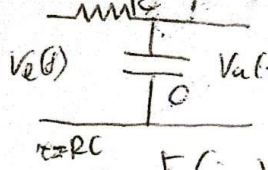


$K_d \rightarrow$ coefficiente di trasduzione di velocità (diverso da iniettore)

$$C_m - C_n = J_T \alpha = J_T \frac{d\omega}{dt}$$

$\alpha \rightarrow$ accelerazione $\alpha = \frac{d\omega}{dt}$
 $\omega \rightarrow$ velocità angolare $\omega = \int d\alpha dt$

Attenzione del 1^o ordine Dibagrammi di Bode e di Nyquist.



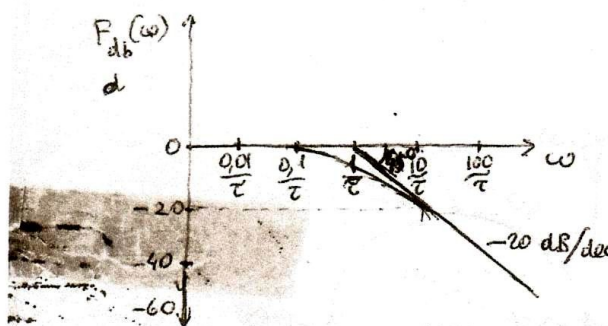
$$F(s) = \frac{V_o(s)}{V_e(s)} = \frac{1}{1+rs}$$

$$F(j\omega) = \frac{1}{1+j\omega\tau}$$

$$|F(j\omega)| = \frac{1}{\sqrt{1+\omega^2\tau^2}}$$

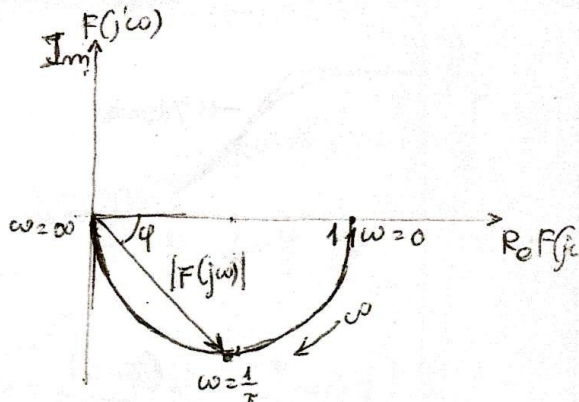
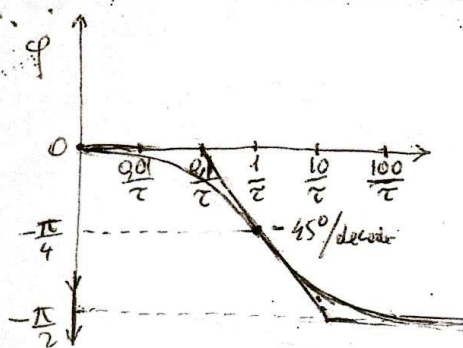
$$F_{dB} = 20 \log_{10} |F(j\omega)| = -20 \log_{10} \sqrt{1+\omega^2\tau^2}$$

per $\omega \ll \frac{1}{\tau}$ $F_{dB}(\omega) \rightarrow 0$, per $\omega \gg \frac{1}{\tau}$ $F_{dB}(\omega) \approx -20 \log_{10} \frac{1}{2} \log_{10} 2 = -10 \cdot 0,3 = -3 \text{ dB}$



$$F_{dB}(\omega = \frac{1}{\tau}) = -20 \log_{10} \sqrt{2} = -20 \frac{1}{2} \log_{10} 2 = -10 \cdot 0,3 = -3 \text{ dB}$$

$$\varphi = 0 - \arctg \omega \tau = -\arctg \omega \tau.$$

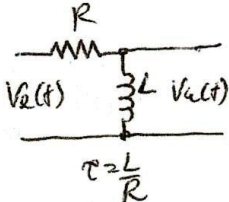
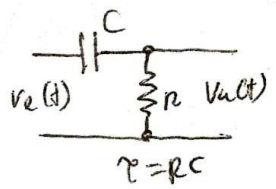


$$|F(j\omega)| = \frac{1}{\sqrt{1+\tan^2 \varphi}} = \cos \varphi$$

$$\tan \varphi = \omega \tau$$

$$V_o(s) = V_e(s) \cdot \frac{1}{1+sC}$$

Sistemi del 1° ordine pure-oltre



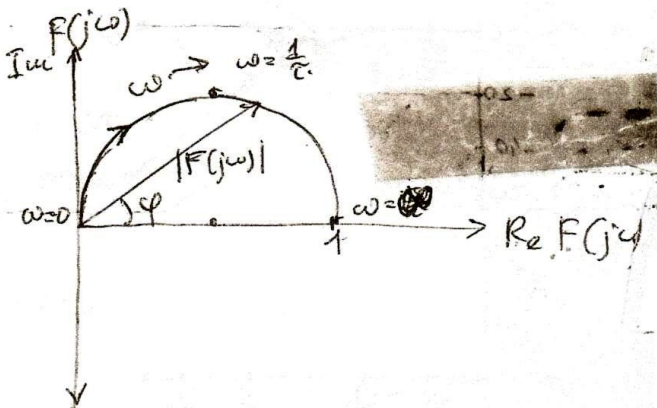
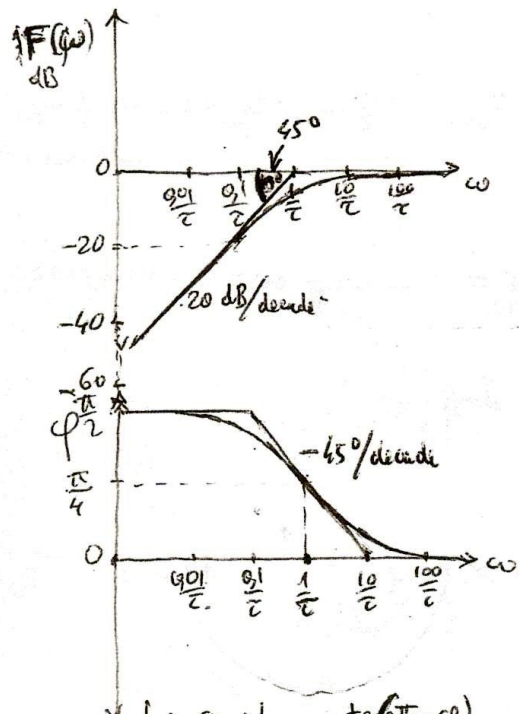
$$F(s) = \frac{V_o(s)}{V_r(s)} = \frac{\tau s}{1 + \tau s}$$

$$F(j\omega) = \frac{j\omega\tau}{1 + j\omega\tau}$$

$$|F(j\omega)| = \frac{|\omega\tau|}{\sqrt{1 + \omega^2\tau^2}} \quad ; \quad F_{dB} = 20 \log |F(j\omega)| = 20 \log_{10} \omega\tau - 20 \log_{10} \sqrt{1 + \omega^2\tau^2}$$

per $\omega\tau \ll 1$ $F_{dB}(\omega) \approx 20 \log_{10} \omega\tau$

per $\omega\tau \gg 1$ $F_{dB}(\omega) \approx 0$ $\varphi = \frac{\pi}{2} - \arctan \omega\tau$

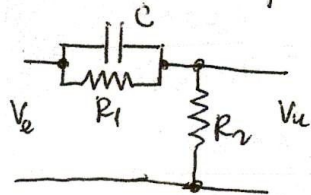


$$|F(j\omega)| = \frac{f_p(\frac{\pi}{2} - \varphi)}{\sqrt{1 + f_p^2(\frac{\pi}{2} - \varphi)}} = \sin\left(\frac{\pi}{2} - \varphi\right) = \cos \varphi$$

$$\operatorname{ord}\nolimits_p \omega\tau = \frac{\pi}{2} - \varphi$$

$$f_p\left(\frac{\pi}{2} - \varphi\right) = \omega\tau$$

Rete anticipatrice



3

$$F(s) = \frac{V_u(s)}{V_i(s)} = \frac{R_2}{R_2 + R_1/\frac{1}{sC}} = \frac{R_2}{R_2 + \frac{R_1/sC}{R_1 + \frac{1}{sC}}} =$$

$$= \frac{R_2}{R_2 + \frac{R_1/sC}{R_1/sC + 1}} = \frac{R_2}{R_2 + \frac{R_1}{R_1/sC + 1}} = \frac{R_2}{\frac{R_1 R_2 s C + R_2}{R_1 R_2 s C + R_2 + R_1}} =$$

$$= \frac{R_2(R_1 s C + 1)}{R_2(R_1 s C + R_2 + R_1)} = \frac{R_2 C (s + \frac{1}{R_1 C})}{R_1 C (s + \frac{R_2 + R_1}{R_1 R_2 C})} = \frac{(s + \frac{1}{\tau})}{(s + \frac{1}{K\tau})} \quad | \quad K = \frac{R_2}{R_1 + R_2} \\ \tau = R_1 C$$

$$F(j\omega) = \frac{\tau (1 + j\omega\tau)}{(1 + j\omega/K\tau)}, \quad \lim_{\omega \rightarrow \infty} F(j\omega) = K \frac{\tau}{K\tau} = 1$$

$\varphi(j\omega)$ arctg $\omega\tau - \arctg \omega K\tau$

$$\lim_{\omega \rightarrow 0} F(j\omega) = K$$

$K < 1$

$$F_{dB}(j\omega) = 20 \log_{10} K + 20 \log_{10} \sqrt{1 + \omega^2 \tau^2} + 20 \log_{10} \sqrt{1 + \omega^2 K^2 \tau^2}$$

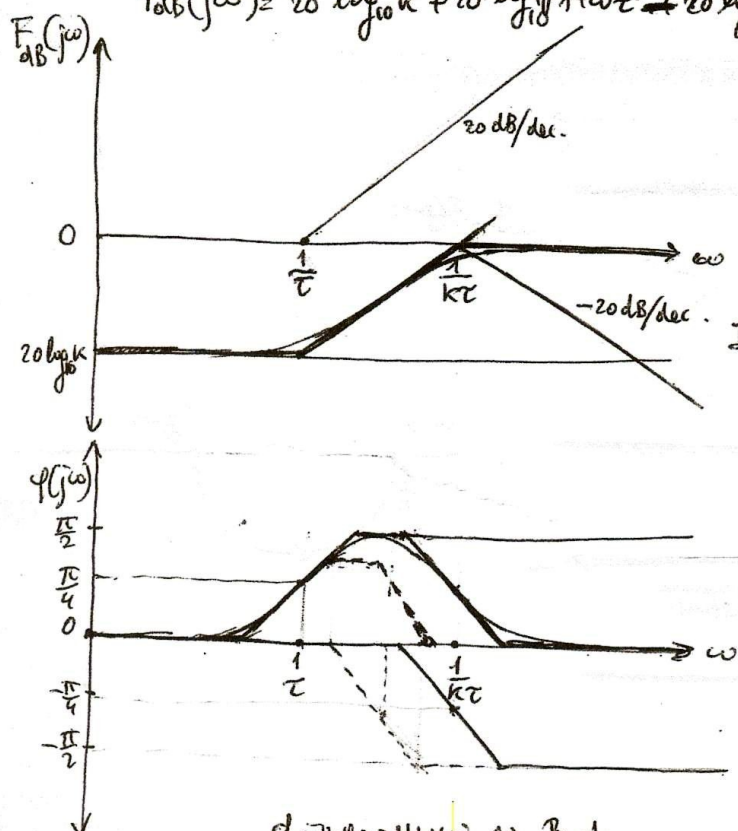


diagramm an Bode

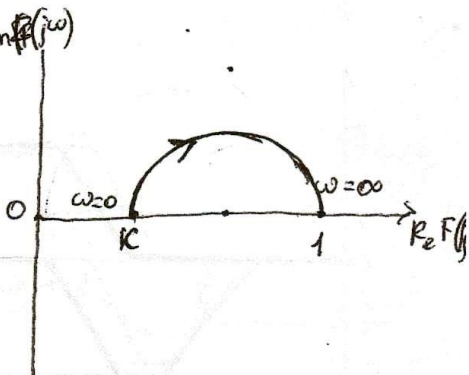
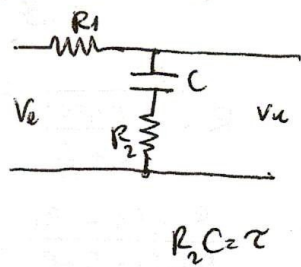


diagramm an Nyquist

Rechte mit induktive.



$$F(s) = \frac{V_u(s)}{V_0(s)} = \frac{R_1 + \frac{1}{sC}}{R_1 + R_2 + \frac{1}{sC}} = \frac{R_1 C s + 1}{(R_1 + R_2) C s + 1}$$

$$= \frac{R_1 C \left(s + \frac{1}{R_1 C} \right)}{(R_1 + R_2) C \left[s + \frac{1}{(R_1 + R_2) C} \right]} = \frac{1 \left(s + \frac{1}{R_1 C} \right)}{K \left(s + \frac{1}{K C} \right)}$$

$$\frac{R_1}{R_1 + R_2} = \frac{1}{K}$$

$$K = \frac{R_1 + R_2}{R_2} > 1$$

$$F(j\omega) = \frac{1}{K} \frac{\left(1 + j\frac{\omega}{R_1 C} \right)}{\left(1 + j\frac{\omega}{K C} \right)} = \frac{1 + j\frac{\omega}{R_1 C}}{1 + j\frac{\omega}{K C}}$$

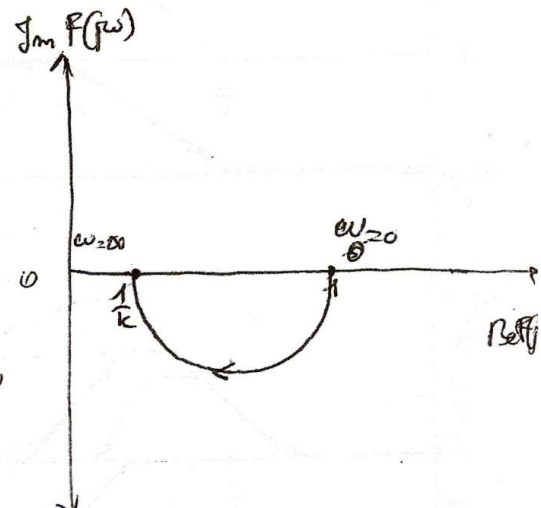
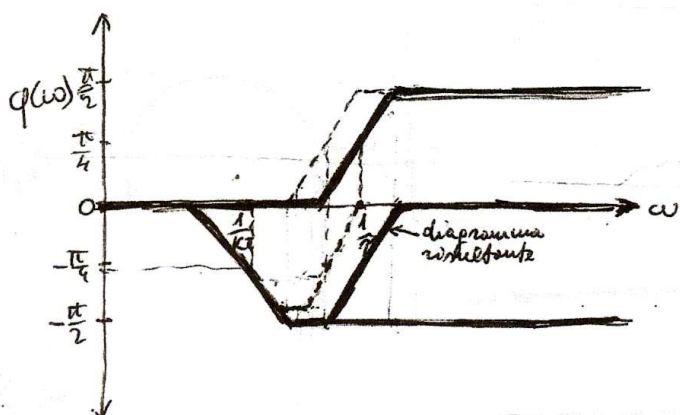
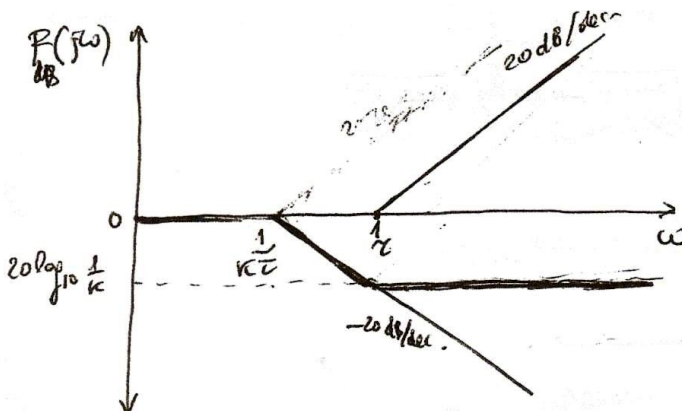
$$\frac{1}{(R_1 + R_2) C} = \frac{1}{K R_1 C} = \frac{1}{K C}$$

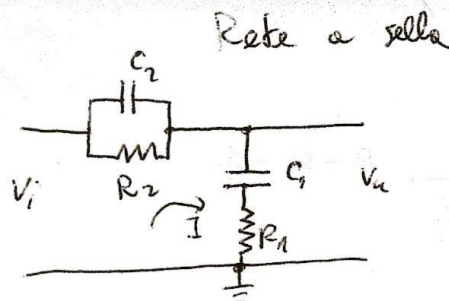
$$\lim_{\omega \rightarrow \infty} F(j\omega) = \frac{1}{K}$$

$\phi(\omega) = \text{anf} \omega C T - \text{end} \omega K T$

$$F_{db}(\omega) = 20 \log_{10} \sqrt{1 + \omega^2 T^2} = 20 \log_{10} \sqrt{1 + \omega^2 K^2}$$

$$\lim_{\omega \rightarrow 0} F(j\omega) = 1$$





$$\frac{V_o}{V_i} = \frac{1}{\frac{1}{R_2} + sC_2} + R_1 + \frac{1}{sC_1}$$

$$V_o = I \left(R_1 + \frac{1}{sC_1} \right) = \frac{V_i}{\frac{1}{R_2} + R_1 + \frac{1}{sC_1}} \cdot \left(R_1 + \frac{1}{sC_1} \right)$$

$$= \frac{V_i}{\frac{R_2 C_1 s + R_1 C_1 s (1 + R_2 C_2 s) + 1 + R_2 C_2 s}{(1 + R_2 C_2 s) s C_1}} \cdot \frac{1 + R_1 C_1 s}{s C_1}$$

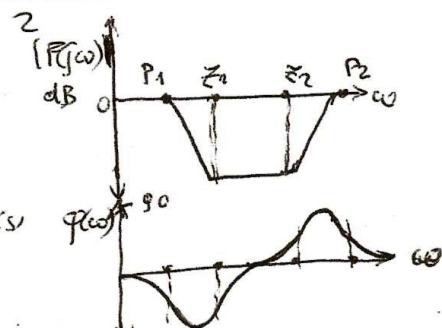
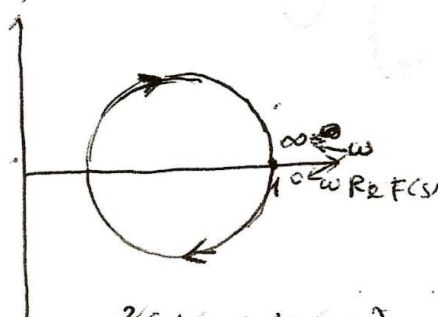
$$= \frac{V_i (1 + R_1 C_1 s) (1 + R_2 C_2 s)}{R_2 C_1 s + R_1 C_1 s + R_1 C_1 R_2 C_2 s^2 + 1 + R_2 C_2 s}$$

$$F(s) = \frac{V_o}{V_i} = \frac{(1 + R_1 C_1 s) (1 + R_2 C_2 s)}{1 + (R_1 C_1 + R_2 C_2 + R_2 C_1) s + R_1 R_2 C_1 C_2 s^2} = \frac{(1 + \tau_{z1} s) (1 + \tau_{z2} s)}{1 + (\tau_{z1} + \tau_{z2} + \tau_{z12}) s + \tau_{z1} \tau_{z2} s^2}$$

$$1 + (\tau_{z1} + \tau_{z2} + \tau_{z12}) s + \tau_{z1} \tau_{z2} s^2 = 0$$

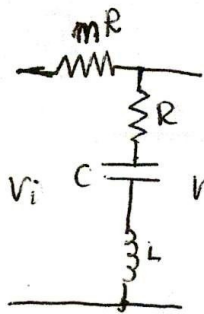
$$s = -\frac{(\tau_{z1} + \tau_{z2} + \tau_{z12}) \pm \sqrt{(\tau_{z1} + \tau_{z2} + \tau_{z12})^2 - 4 \tau_{z1} \tau_{z2}}}{2}$$

$\text{Im } F(s)$



$$\lim_{s \rightarrow \infty} F(s) = \frac{\frac{1}{s} (1 + \tau_{z1}) (1 + \tau_{z2})}{s^2 \left[\frac{1}{s^2} + (\tau_{z1} + \tau_{z2} + \tau_{z12}) \frac{1}{s} + \tau_{z1} \tau_{z2} \right]} = \frac{\tau_{z1} \tau_{z2}}{\cancel{\tau_{z1} \tau_{z2}}} = 1$$

$$\lim_{s \rightarrow 0} F(s) = 1$$

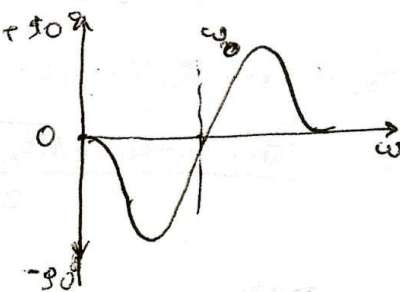
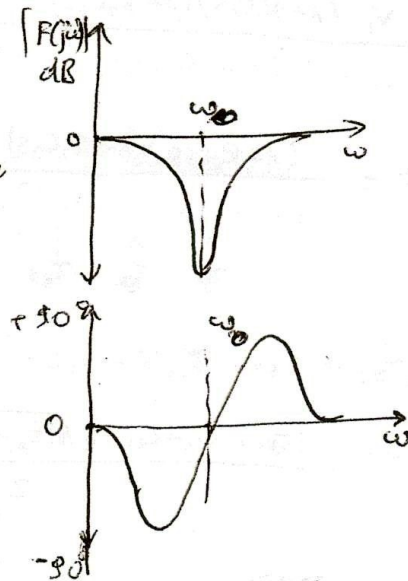
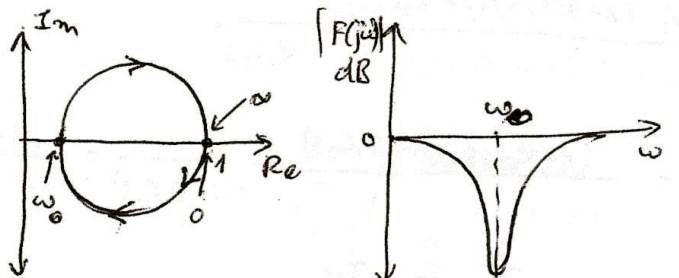


$$V_o = \frac{Vi}{(n+1)R + LS + \frac{1}{SC}} \cdot R + sL + \frac{1}{SC} =$$

$$= \frac{Vi (RCS + LCs^2 + 1)}{(n+1)RCS + LCS^2 + 1}$$

$$F(s) = \frac{V_o}{Vi} = \frac{s^2 + \frac{R}{L}s + \frac{1}{LC}}{s^2 + (n+1)\frac{R}{L}s + \frac{1}{LC}} = \frac{s^2 + \frac{R}{L}s + \frac{1}{LC}}{s^2 + (n+1)\frac{R}{L}s + 1}$$

$$\lim_{s \rightarrow \infty} F(s) = 1 ; \quad \lim_{s \rightarrow 0} F(s) = \frac{1}{\cancel{LC}}$$



Diagrammi di Bode e di Nyquist per i sistemi di 2^o ordine

$\frac{V_o(s)}{V_i(s)} = \frac{K}{(1+\tau_1 s)(1+\tau_2 s)}$

$F(j\omega) = \frac{K}{(1+j\omega\tau_1)(1+j\omega\tau_2)}$

poli: $p_1 = -\frac{1}{\tau_1}$, $p_2 = -\frac{1}{\tau_2}$

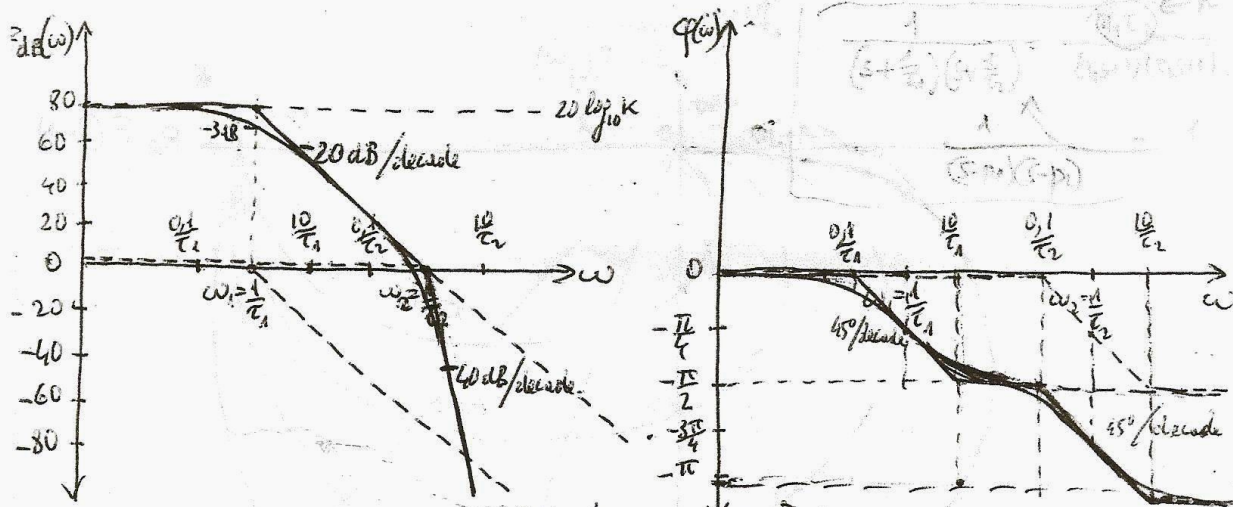
$$F_{dB}(j\omega) = 20 \log_{10} |F(j\omega)| = 20 \log_{10} K + 20 \log_{10} \sqrt{1+\omega^2\tau_1^2} + 20 \log_{10} \sqrt{1+\omega^2\tau_2^2}$$

$$\varphi = -\arctg \omega\tau_1 - \arctg \omega\tau_2$$

1° caso: $\gamma > 1$ - poli reali e distinti, con $\tau_1 > \tau_2$

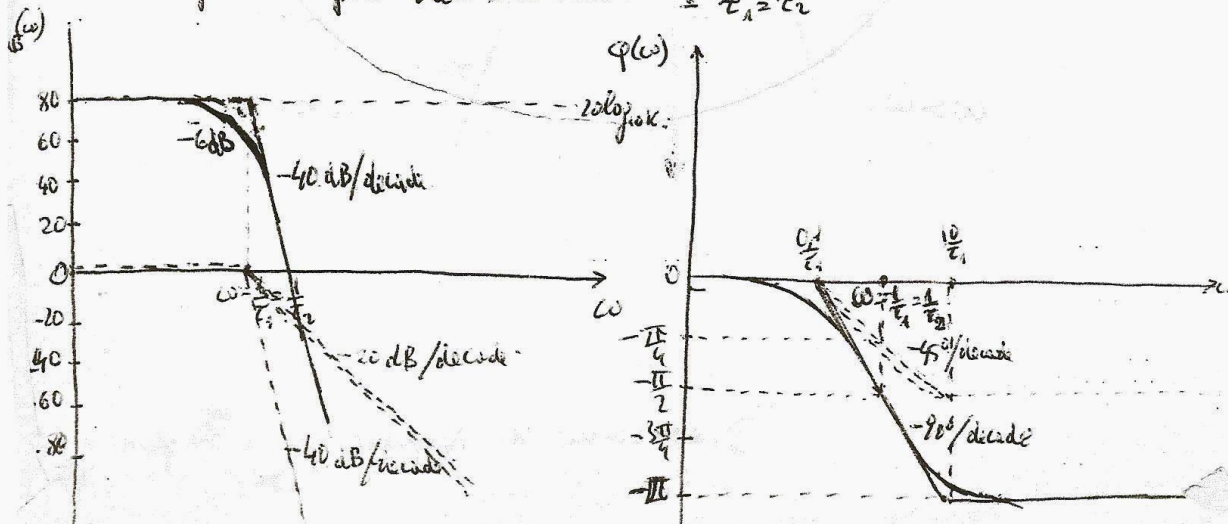
Modulo

Fase



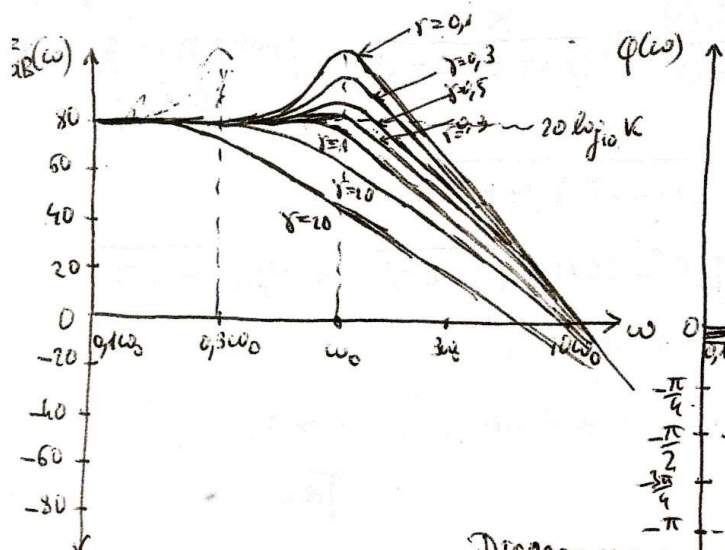
Diagrammi di Bode

2^o caso: $\gamma = 1$ - poli reali e coincidenti - $\tau_1 = \tau_2$



Diagrammi di Nyquist per i regimi:

$\Im \omega_0$ $r < 1$ - poli complessi coniugati

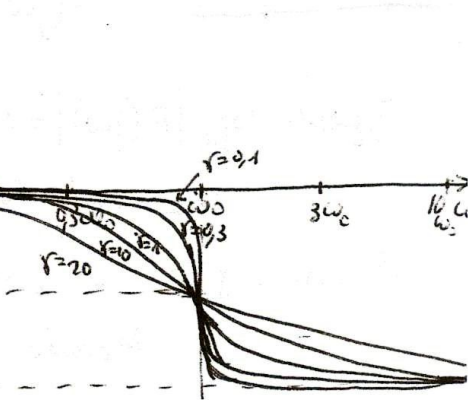


$$\text{caso } r < 1 \quad \text{poli complessi coniugati}$$

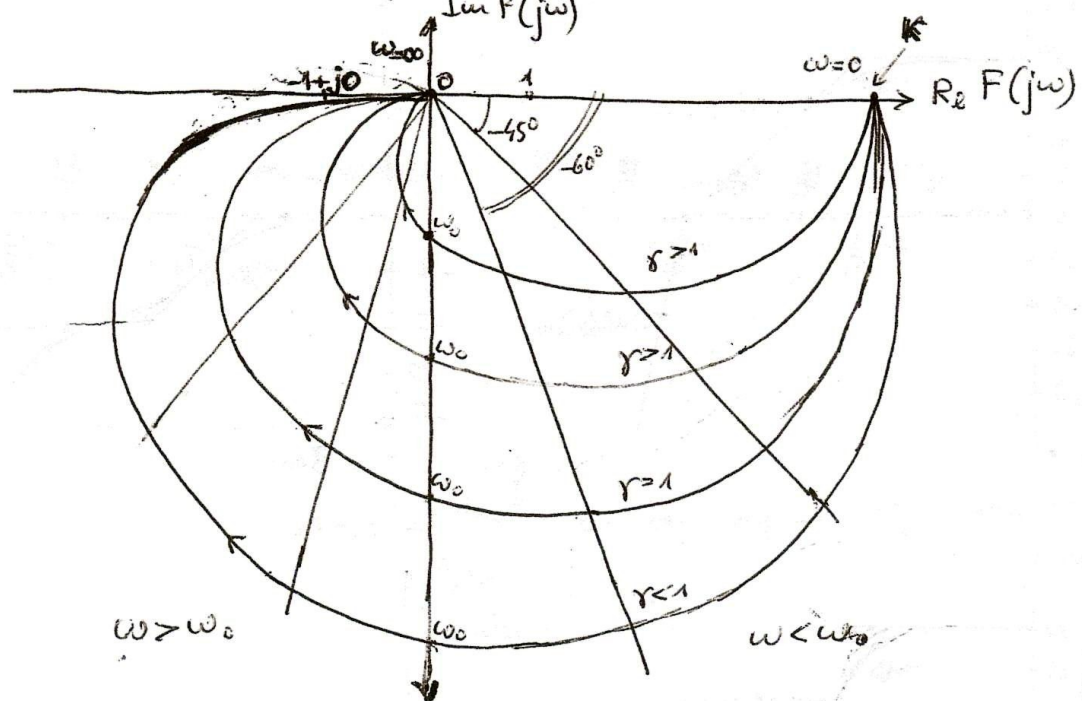
$$P_1 = \alpha + j\beta \quad P_2 = \alpha - j\beta$$

$$\cos \alpha = -\frac{R}{2L}, \beta = \omega = \omega_0 \sqrt{1-r^2}$$

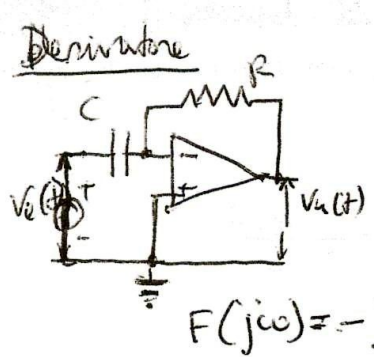
$$\alpha^2 + \beta^2 = \omega_0^2$$



Diagrammi di Bode



Diagrammi di Nyquist per i casi:



$$V_x(t) = -RC \frac{dV_o(t)}{dt}$$

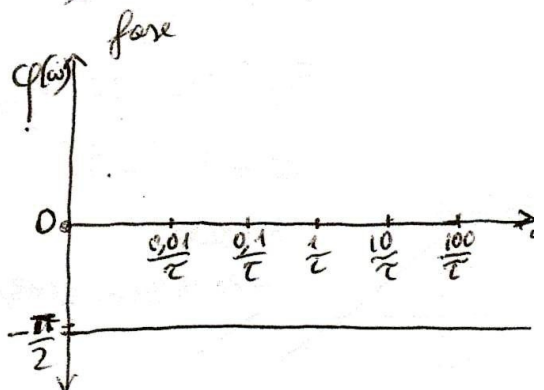
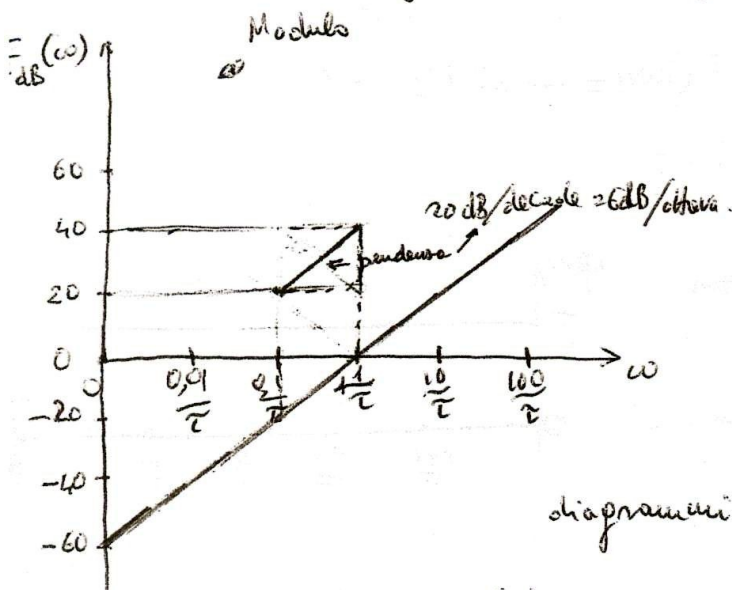
$$V_u(s) = -RCsV_o(s)$$

se $V_o(t)$ per $t=0^+ = 0$

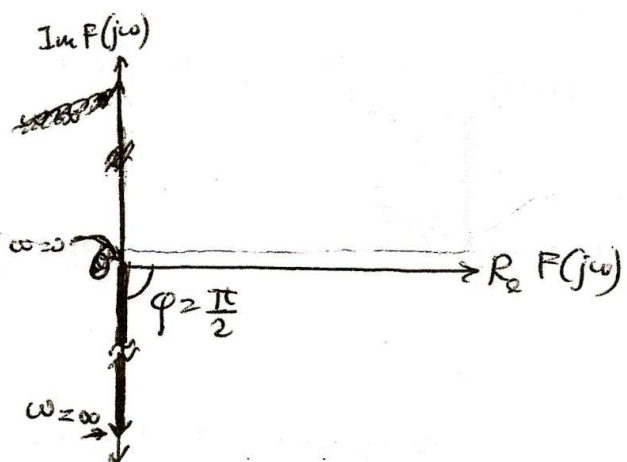
$$F(s) = \frac{V_u(s)}{V_o(s)} = -RCs = -\tau$$

$$F(j\omega) = -j\omega\tau \quad |F(j\omega)| = \omega\tau$$

$$F_{dB}^{(\omega)} = 20 \log_{10} |F(j\omega)| = 20 \log_{10} \omega\tau; \quad \varphi = -\frac{\pi}{2}$$

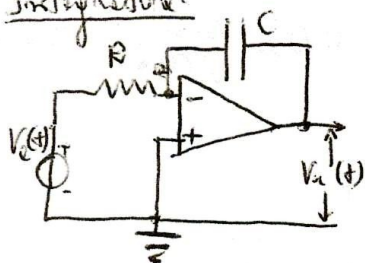


diagrammi di Bode



Diagrammi di Bode dell'integratore e del derivatore 10
 e di Nyquist (con inversione di segno)

Integratore.



$$V_u(t) = -\frac{1}{RC} \int V_e(t) dt$$

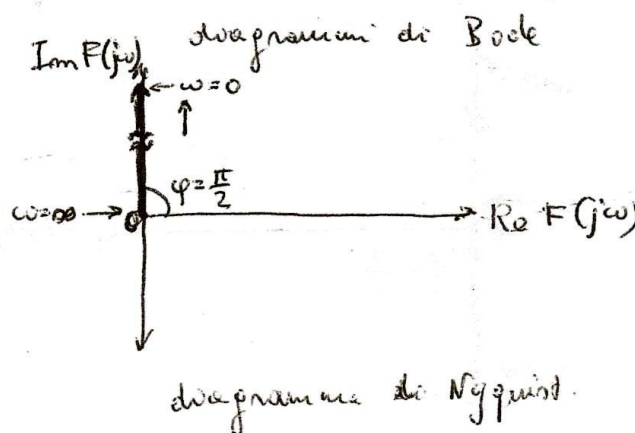
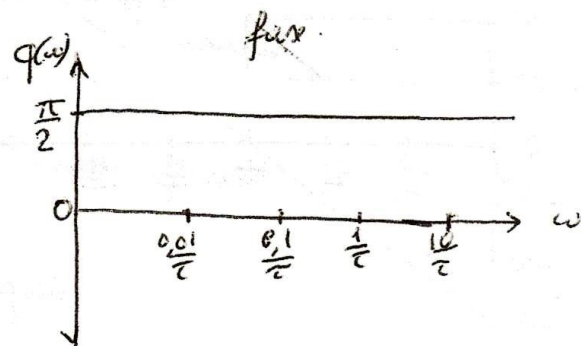
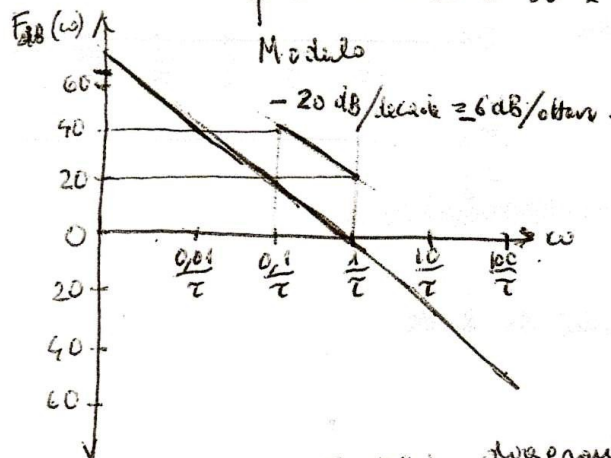
$$V_u(s) = -\frac{1}{RC} \frac{V_e(s)}{s} = -\frac{1}{\tau} \frac{V_e(s)}{s}$$

$$F(s) = \frac{V_u(s)}{V_e(s)} = -\frac{1}{\tau s}$$

$$F(j\omega) = -\frac{1}{j\omega\tau} \quad |F(j\omega)| = \frac{1}{\omega\tau}$$

$$F_{dB}(\omega) = 20 \log_{10} |F(j\omega)| = -20 \log_{10} \omega\tau$$

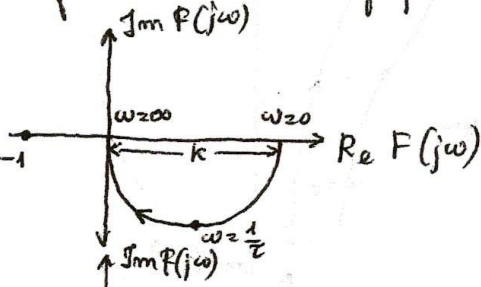
$$\varphi = 180^\circ - 90^\circ = 90^\circ = \frac{\pi}{2}$$



D'aprempere di Nyquist di alcune funzioni di trasformamento di uso frequente

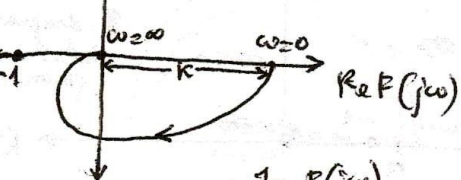
$$F(s) = \frac{K}{1 + \tau s}$$

Sistema stabile



$$F(s) = \frac{K}{(1 + \tau_1 s)(1 + \tau_2 s)}$$

Sistema stabile



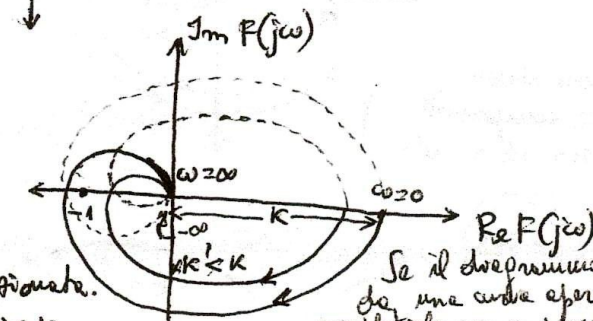
$$F(s) = \frac{K}{(1 + \tau_1 s)(1 + \tau_2 s)(1 + \tau_3 s)}$$

Sistema a instabilità condizionata.

Divenuta stabile se diminuisce K

$$\frac{K}{s}$$

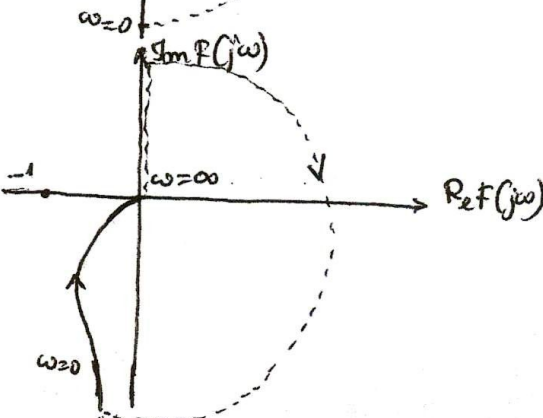
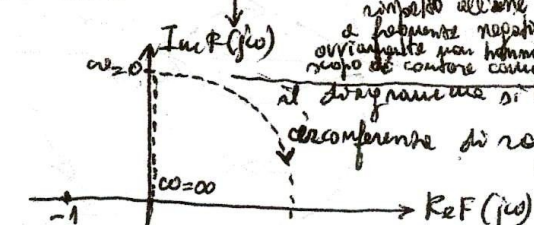
Sistema stabile



Se il diagramma è costituito da una curva aperta, si vuole completarla con un percorso simmetrico rispetto all'asse reale (---), corrispondente a frequenze negative comprese fra $-\infty$ e 0 , che ovviamente non hanno significato fisico; ciò è fatto per il contorno comprendere i più compatti intorno al diagramma si chiude attraverso una piccola circonferenza di raggio infinito.

$$\frac{K}{s(1 + \tau s)}$$

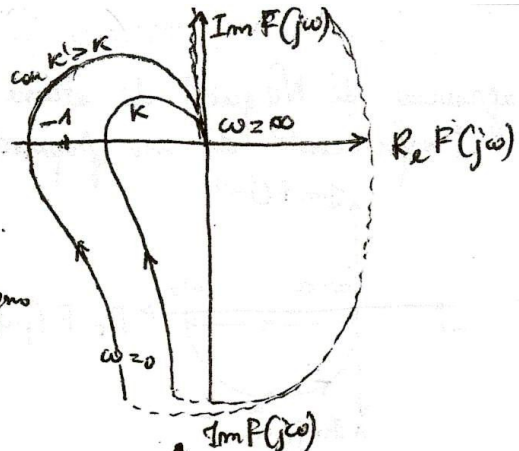
Sistema stabile



12

$$\frac{K}{s(1+\tau_1 s)(1+\tau_2 s)}$$

Sistema è instabile
condizionato, da diventare
instabile al crescere del guadagno

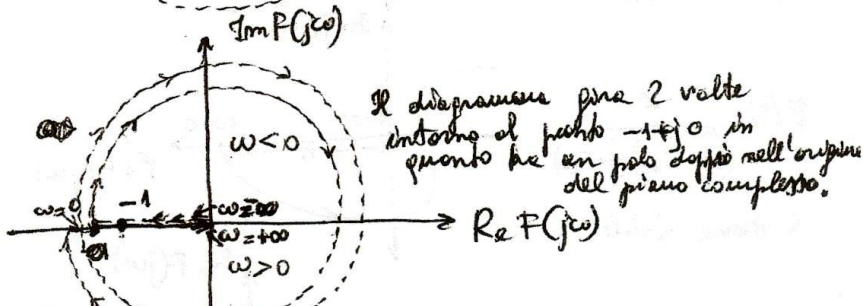


$$\frac{K}{s^2}$$

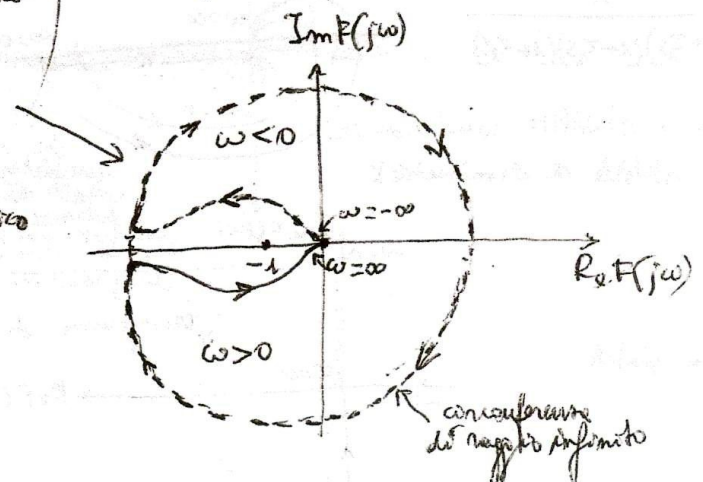
Sistema instabile

(per diventare stabile
bisogna avere compensato
con uno zero ed un polo-
per es: $\frac{K(1+\tau_1 s)}{s^2(1+\tau_2 s)}$)

In tal modo il
diagramma non
abbraccia il punto critico
 $-1+j0$



Im F(jω)



Diagrammi di Bode della funzione di trasferimento $F(j\omega)$ 13

$$F(s) = \frac{10s(1+\tau_1 s)(1+\tau_5 s)}{(1+\tau_2 s)(1+\tau_3 s)(1+\tau_4 s)^2}$$

$$\tau_1 = 10^{-1} \text{ sec}, \tau_2 = 10^{-2} \text{ sec}, \tau_3 = 10^{-3} \text{ sec}, \tau_4 = 10^{-5} \text{ sec}$$

$$F(j\omega) = \frac{10j\omega(1+j10^4\omega)(1+j10^6\omega)}{(1+j10^2\omega)(1+j10^3\omega)(1+j10^5\omega)^2}$$

14

Zeri di $F(s)$: $s=0$ (nella origine del piano complesso), $s=-\frac{1}{\tau_1}$, $s=-\frac{1}{\tau_5}$

Poli di $F(s)$: $s=-\frac{1}{\tau_2}$, $s=-\frac{1}{\tau_3}$, $s=-\frac{1}{\tau_4}$ (polo doppio)

pulsazioni

passaggio da taglio: $\omega_1 = \frac{1}{\tau_1} = 10 \text{ rad/sec}$, $\omega_2 = \frac{1}{\tau_2} = 10^2 \text{ rad/sec}$, $\omega_3 = \frac{1}{\tau_3} = 10^3 \text{ rad/sec}$, $\omega_4 = \frac{1}{\tau_4} = 10^5 \text{ rad/sec}$, $\omega_5 = \frac{1}{\tau_5} = 10^6 \text{ rad/sec}$.

$$|F(j\omega)| = \frac{10\omega \sqrt{1+10^2\omega^2} \sqrt{1+10^{12}\omega^2}}{\sqrt{1+10^4\omega^2} \sqrt{1+10^6\omega^2} \sqrt{1+10^{10}\omega^2}}$$

$$F_{dB}(\omega) = 20 \log_{10} 10 + 20 \log_{10} \omega + 20 \log_{10} \sqrt{1+10^2\omega^2} + 20 \log_{10} \sqrt{1+10^{12}\omega^2} - 20 \log_{10} \sqrt{1+10^4\omega^2} - 20 \log_{10} \sqrt{1+10^6\omega^2} - 40 \log_{10} \sqrt{1+10^{10}\omega^2}$$

$$\varphi(\omega) = 0^\circ + 90^\circ + \arctg 10^1 \omega + \arctg 10^6 \omega - \arctg 10^2 \omega - \arctg 10^3 \omega - \arctg 10^5 \omega$$

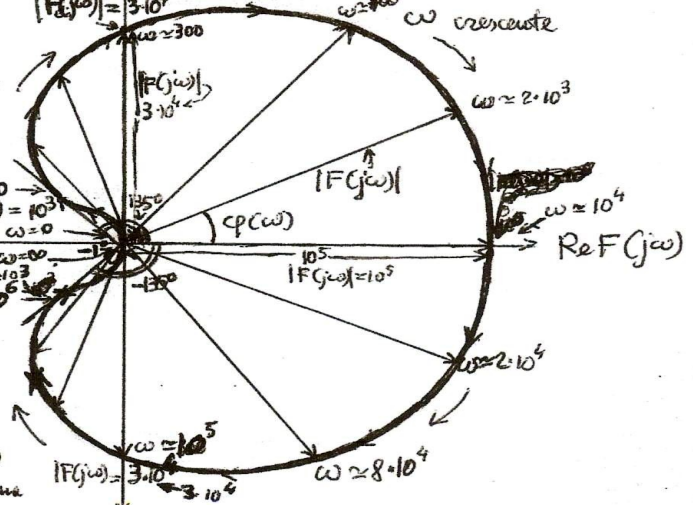
I diagrammi risultanti di $F_{dB}(\omega)$ e di $\varphi(\omega)$ si ottengono sommando algebricamente i contributi dei diagrammi relativi a ciascun polo ed a ciascuno zero.

Diagramma di Nyquist di $F(j\omega)$

Il diagramma di Nyquist si ottiene tracciando, per tutti i valori di ω ($0 < \omega < \infty$), i corrispondenti vettori che rappresentano nel piano complesso $(Re F(j\omega), Im F(j\omega))$ le funzioni complesse $F(j\omega)$. I vettori sono individuati dal modulo $|F(j\omega)|$ e delle fasi $\varphi(j\omega)$, entrambi incavallati dal diagramma di Bode.

La fase $\varphi(j\omega)$ coincide con il segno, positivo o negativo, del vettore rappresentativo di $F(j\omega)$ formata nel semiespazio positivo $Re F(j\omega)$.

La pulsazione ω cresce da 0 procedendo lungo il diagramma in senso orario.



Il diagramma non gira intorno al punto $-1+j0$; pertanto il sistema avente come funzione di trasferimento del guadagno d'anello $|F(j\omega)|$ è stabile.

**CONTROLLO CONTINUO DI VELOCITA' A CATENA CHIUSA
PER MOTORE IN C.C. CON ALTERNATORE TACHIMETRICO**

ε : SEGNALE D'ERRORE

V_{SP} : SET POINT
DI VELOCITA'

V_{RT} : SEGNALE DI
RISAZIONE
TACHIMETRICO

A_p : AMPLIFICATORE DI
POTENZA

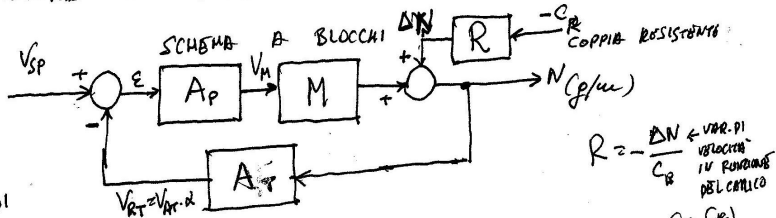
M: MOTORE IN. C.C.

A_T : EL. ALTERNATORE
TACHIMETRICO

R: FUNZIONE DI
TRASFERIMENTO
RELATIVA ALLA COPPIA
RESISTENTE

$$G_{CC} = \frac{N}{V_{SP}} = \frac{A_p M}{1 + A_T A_p M}$$

NUBREGNO
CATENA CHIUSA



$$\varepsilon = V_{SP} - V_{RT} ; \quad V_{RT} = N \cdot A_T$$

$$N = \varepsilon \cdot A_p \cdot M + Y_N = \varepsilon \cdot A_p \cdot M - C_R R$$

$$N = (V_{SP} - V_{RT}) A_p M - C_R R ; \quad N = V_{SP} A_p M - N A_T A_p M - C_R R$$

$$N + N A_T A_p M = V_{SP} A_p M - C_R R$$

$$N(1 + A_T A_p M) = V_{SP} A_p M - C_R R$$

$$N = \frac{V_{SP} A_p M}{1 + A_T A_p M} - \frac{C_R R}{1 + A_T A_p M}$$

\downarrow
 G_{CC} .
NUBREGNO A CATENA APERTA
(D'ANOLLO)

CONTROLLO DI VELOCITÀ A CIRCUITO CHIUSA
PER MOTORE IN. C.C. CON ALTERNATORE TACHIMETRICO

